



DATASCIENTEST × MINES PARIS - PSL

Machine Learning Engineer (BMLE) — Promotion Octobre 2025



Classification Multimodale de Produits E-Commerce

Projet Rakuten France — Challenge de Classification Automatique
Approche Hybride Texte + Image avec Voting System



ÉQUIPE PROJET

Johan Frachon

Liviu Andronic

Hery Mickael Ralaimanantsoa

Oussama Akir

Mentor: **Antoine**

DataScientest — Paris

84 916

PRODUITS

27

CATÉGORIES

92%

ACCURACY IMAGE

83%

ACCURACY TEXTE

Février 2026

Résumé Exécutif

Ce rapport présente notre solution de **classification automatique multimodale** développée dans le cadre du challenge Rakuten France. L'objectif était de classifier automatiquement des produits e-commerce parmi **27 catégories** en utilisant à la fois les données textuelles (titre et description) et visuelles (images produits).

Notre approche hybride combine un **classifieur textuel LinearSVC** (TF-IDF word+char, accuracy 83%) et un **Voting System d'images** fusionnant trois architectures complémentaires : DINOv3 (Vision Transformer), XGBoost sur features ResNet, et EfficientNet-B0. Ce système de vote atteint **92% d'accuracy** sur les images seules.

La fusion tardive (Late Fusion) des deux modalités avec pondération optimisée permet d'atteindre des performances robustes sur l'ensemble des 27 catégories, y compris les classes minoritaires grâce aux stratégies d'oversampling et de class weighting.

MOTS-CLÉS :

Classification Multimodale

Transfer Learning

Voting Classifier

TF-IDF

Vision Transformer

E-commerce

Deep Learning

92%

ACCURACY IMAGE (VOTING)

83%

ACCURACY TEXTE (SVC)

27

CATÉGORIES CLASSIFIÉES

Contributions Principales

Méthodologie

Pipeline complet de preprocessing texte et image avec gestion du déséquilibre de classes (ratio 1:13).

Performance

Voting System innovant combinant 3 architectures pour atteindre 92% sur les images.

Application

Interface Streamlit multimodale fonctionnelle avec visualisations et explicabilité.

Table des Matières

PARTIE I : CONTEXTE ET DONNÉES

1.1 Le Challenge Rakuten France	6
1.2 Description du Dataset	7
1.3 Analyse Exploratoire (EDA)	8

PARTIE II : PREPROCESSING & FEATURE ENGINEERING

2.1 Pipeline de Prétraitement Texte	11
2.2 Pipeline de Prétraitement Image	13
2.3 Gestion du Déséquilibre des Classes	15

PARTIE III : MODÉLISATION TEXTE

3.1 Benchmark des Classifieurs	17
3.2 Optimisation LinearSVC	18
3.3 Résultats Détaillés par Classe	19

PARTIE IV : MODÉLISATION IMAGE

4.1 Stratégie Transfer Learning	21
4.2 Benchmark Machine Learning	22
4.3 Approche Deep Learning	24
4.4 Architectures Avancées (DINOv3, EfficientNet)	26
4.5 Voting System - Modèle Final	28
4.6 Tests de Robustesse	30

PARTIE V : FUSION MULTIMODALE

5.1 Stratégie de Fusion Tardive	32
5.2 Optimisation des Poids	33
5.3 Résultats Combinés	34

PARTIE VI : APPLICATION STREAMLIT

6.1 Architecture de l'Application	35
6.2 Fonctionnalités et Interface	36
6.3 Démonstration	37

PARTIE VII : CONCLUSION ET PERSPECTIVES

7.1 Bilan du Projet	38
7.2 Limites et Difficultés	39
7.3 Perspectives d'Amélioration	40

ANNEXES

A. Mapping des 27 Catégories	41
B. Configuration Technique	42
C. Références	43

I

Contexte et Données

Challenge Rakuten France et analyse du dataset

1.1 Le Challenge Rakuten France

Rakuten, géant mondial du e-commerce, fait face à un défi classique des marketplaces : la catégorisation automatique des produits mis en ligne par des vendeurs tiers. Une mauvaise catégorisation entraîne une mauvaise expérience de recherche et une perte de revenus significative.

🎯 Objectif du Challenge

Développer un modèle de classification multimodale capable de prédire le **code catégorie (prdtypecode)** d'un produit en utilisant simultanément :

- **Le Texte** : Désignation (titre) et description du produit
- **L'Image** : Visuel du produit fourni par le vendeur

1.1.1 Contexte Métier

Enjeux Business

- **Expérience utilisateur** : Navigation facilitée
- **Recherche produit** : Résultats pertinents
- **Conversion** : Réduction du taux de rebond
- **Scalabilité** : Millions de produits/jour

Défis Techniques

- **Multilingue** : Descriptions en plusieurs langues
- **Qualité variable** : Images non standardisées
- **Ambiguité** : Produits multi-catégories
- **Volume** : Traitement en temps réel

1.1.2 Métrique d'Évaluation

📊 F1-Score Pondéré (Weighted)

Conformément aux règles du challenge, la métrique principale est le **F1-Score weighted**, qui prend en compte le déséquilibre des classes en pondérant chaque classe par son support.

FORMULE F1-SCORE

$$F1 = 2 \times (\text{Precision} \times \text{Recall}) / (\text{Precision} + \text{Recall})$$

$$F1_{\text{weighted}} = \sum (\text{support}_c / \text{total}) \times F1_c$$

1.2 Description du Dataset

84 916	13 812	27	500×500
IMAGES TRAIN	IMAGES TEST	CATÉGORIES	TAILLE IMAGES (PX)

1.2.1 Structure des Données

VARIABLE	TYPE	DESCRIPTION	COMPLÉTITUDE
designation	String	Titre du produit	100%
description	String	Description longue (HTML/brut)	65%
productid	Integer	Identifiant unique produit	100%
imageid	Integer	Identifiant image associée	100%
prdtypecode	Integer	Code catégorie (target)	100%

⚠ Valeurs Manquantes Critiques

35% des descriptions sont manquantes (NaN). Cette contrainte structurelle nous oblige à concevoir un pipeline robuste qui ne dépend pas uniquement du champ description.

Stratégie retenue : Concaténation designation + description avec remplacement des NaN par chaîne vide.

1.2.2 Aperçu des Catégories

Le dataset couvre 27 catégories de produits e-commerce diversifiées :

 Livres & Médias Livres neufs/occasion, magazines, BD, livres anciens	 Gaming & Jouets Jeux vidéo, consoles, figurines, cartes, jouets	 Maison & Jardin Mobilier, décoration, literie, piscines, bricolage
--	---	--

1.3 Analyse Exploratoire (EDA)

1.3.1 Déséquilibre des Classes

L'analyse de la distribution des catégories révèle un **déséquilibre significatif** constituant l'un des défis majeurs du projet.

13.4%	10 217	761	3 145
-------	--------	-----	-------

RANG	CODE	CATÉGORIE	EFFECTIF	%	DISTRIBUTION
1	2583	Piscines et accessoires	10 217	12.0%	<div style="width: 12.0%; background-color: red;"></div>
2	1560	Mobilier intérieur	5 076	6.0%	<div style="width: 6.0%; background-color: red;"></div> <div style="width: 44.0%; background-color: lightgray;"></div>
3	2060	Décoration intérieure	4 996	5.9%	<div style="width: 5.9%; background-color: red;"></div> <div style="width: 94.1%; background-color: lightgray;"></div>
		...			
26	1940	Alimentation	804	0.9%	<div style="width: 0.9%; background-color: yellow;"></div> <div style="width: 99.1%; background-color: lightgray;"></div>
27	60	Consoles de jeux	761	0.9%	<div style="width: 0.9%; background-color: lightgray;"></div> <div style="width: 99.1%; background-color: lightgray;"></div>

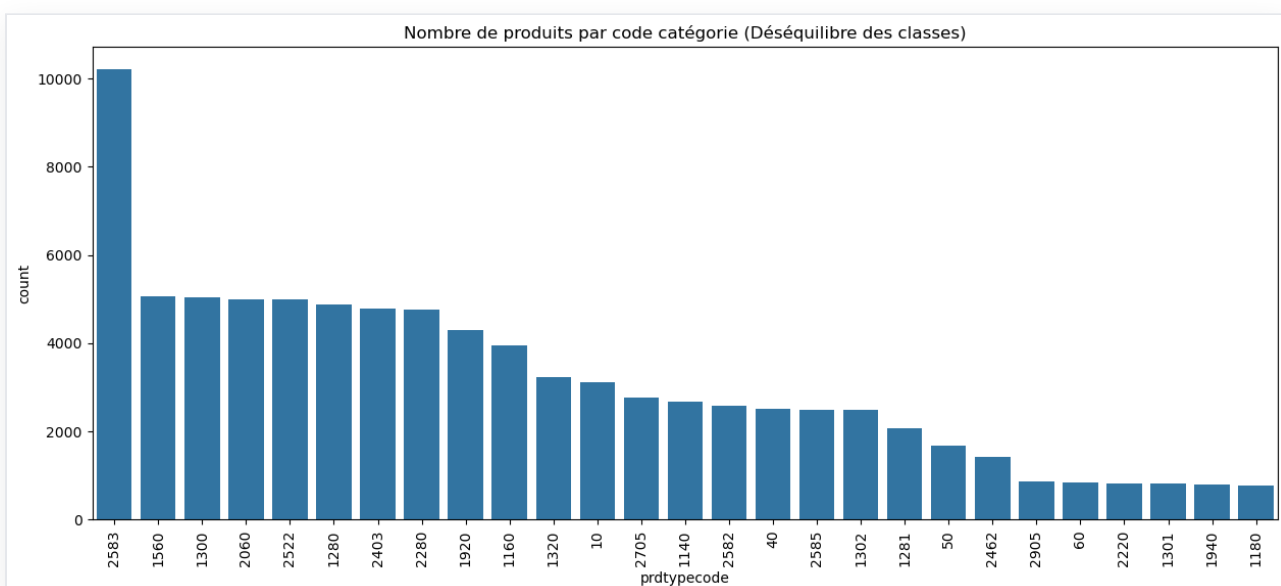


Figure : Distribution des 27 catégories - Déséquilibre significatif (ratio 1:13)

1.3.2 Analyse Textuelle

Distribution des Longueurs

CHAMP	MOYENNE	MÉDIANE	MAX
Désignation	70 car.	65 car.	250 car.
Description	450 car.	200 car.	12 000 car.

Mots les Plus Fréquents

PISCINE	JEU	LOT	COUSSIN	KIT	ENFANT	BÉBÉ
LIVRE						

Les termes dominants corrélatifs avec les classes majoritaires (piscines, jouets).

1.3.3 Analyse des Images

Images Standardisées

Toutes les images sont uniformes en **500×500 pixels** au format JPEG. Cependant, la présence de **bordures blanches variables** autour des produits nécessite une attention particulière lors du preprocessing.

Variabilité Intra-Classe

Grande diversité visuelle au sein d'une même catégorie. Exemple : un "livre" peut apparaître comme une couverture seule, une pile de livres, ou une image marketing composite.

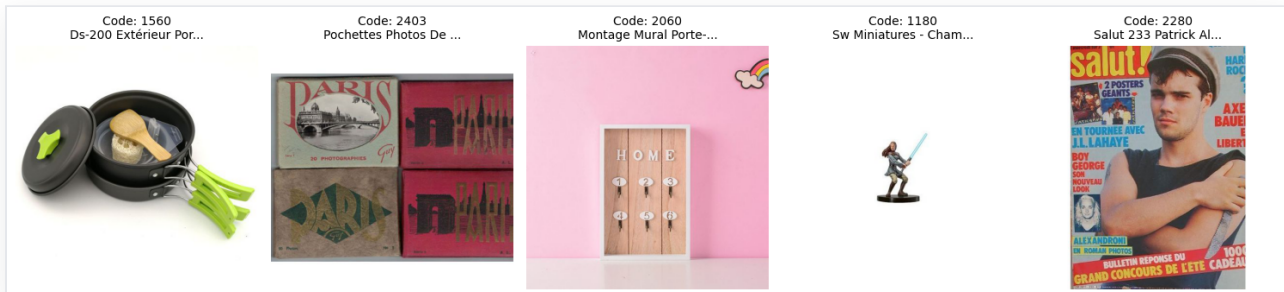


Figure : Exemples de produits par catégorie - Variété visuelle du dataset

Distribution de la longueur des Désignations

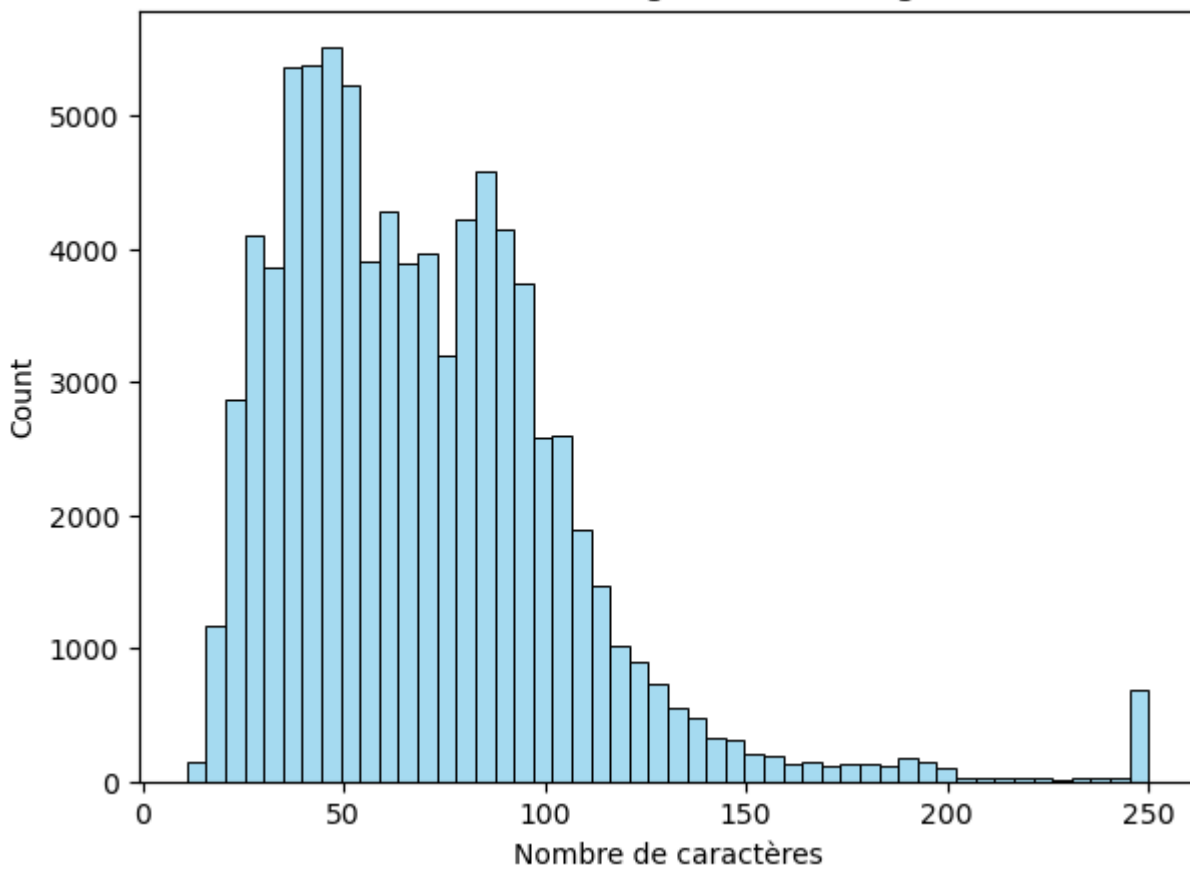


Figure : Distribution de la longueur des désignations (moyenne ~70 caractères)

III

Preprocessing & Feature Engineering

Transformation des données brutes en features exploitables

2.1 Pipeline de Prétraitement Texte

Le preprocessing textuel vise à transformer les descriptions produits brutes en vecteurs numériques exploitables par les algorithmes de classification.

Les données textuelles du dataset Rakuten présentent plusieurs défis spécifiques. D'abord, 35% des descriptions sont manquantes (champs NaN) — les vendeurs renseignent le titre mais pas la description détaillée. Ensuite, les textes sont multilingues : français, anglais, allemand, avec parfois des mélanges dans un même champ. Enfin, les titres contiennent fréquemment des codes produits, des abréviations et des erreurs de saisie ("playstation" vs "playstations" vs "PS4"). Notre choix de prétraitement est volontairement léger : pas de stemming, pas de lemmatisation, pas de stopwords removal. Cette décision, contre-intuitive au premier abord, repose sur un constat empirique : les tests avec stemming dégradaient les performances de 1.5 points car les suffixes portent de l'information catégorielle (par exemple, "-eur" signale souvent du matériel professionnel).

2.1.1 Étapes de Nettoyage



2.1.2 Vectorisation TF-IDF

Nous avons opté pour une approche **FeatureUnion** combinant deux vectoriseurs complémentaires. Le vecteur final atteint 280 000 dimensions (120K word + 160K char), ce qui peut sembler excessif, mais le LinearSVC gère nativement les espaces creux de haute dimension sans réduction préalable. Le paramètre `sublinear_tf=True` applique un log-scaling ($1 + \log(tf)$) qui atténue l'impact des mots très fréquents sans les supprimer complètement. Les seuils `min_df=2` et `max_df=0.9` éliminent les termes trop rares (hapax, fautes uniques) et trop communs (mots présents dans 90%+ des documents).

TF-IDF Word (N-grams)

- **Analyzer** : word
- **N-grams** : (1, 2) - unigrams + bigrams
- **Max features** : 120 000
- **Min/Max DF** : 2 / 0.9
- **Sublinear TF** : True (log scaling)

TF-IDF Char (N-grams)

- **Analyzer** : char_wb (word boundaries)
- **N-grams** : (3, 5) - trigrammes à 5-grammes
- **Max features** : 160 000
- **Sublinear TF** : True
- **Avantage** : Robuste aux fautes d'orthographe

CONFIGURATION TF-IDF (PYTHON)

```
from sklearn.feature_extraction.text import TfidfVectorizer
from sklearn.pipeline import FeatureUnion

word_vec = TfidfVectorizer(
    ngram_range=(1, 2),
    max_features=120000,
    min_df=2, max_df=0.9,
    sublinear_tf=True,
    strip_accents='unicode'
)

char_vec = TfidfVectorizer(
    analyzer='char_wb',
    ngram_range=(3, 5),
    max_features=160000,
    sublinear_tf=True
)

features = FeatureUnion([('word', word_vec), ('char', char_vec)])
```

💡 Justification de l'Approche

La combinaison word + char permet de capturer à la fois la **sémantique** (n-grams de mots) et la **morphologie** (n-grams de caractères). Cette dernière est particulièrement utile pour :

- Les fautes d'orthographe fréquentes dans les titres vendeurs
- Les mots composés et noms de marques
- Les textes multilingues

2.2 Pipeline de Prétraitement Image

Le preprocessing image utilise le **Transfer Learning** avec EfficientNet-B0 pour extraire des features visuelles compactes et sémantiquement riches.

Les images du catalogue Rakuten présentent une forte hétérogénéité : photos de produits sur fond blanc, captures d'écran de jeux vidéo, couvertures de livres, photos de mobilier en situation. Entraîner un CNN from scratch sur 84K images serait insuffisant pour capturer cette diversité, d'autant que certaines classes ne comptent que 150 à 200 exemples. Le Transfer Learning nous permet d'exploiter les représentations visuelles apprises sur ImageNet (1.2M images) et de les adapter à notre domaine avec un coût de calcul raisonnable.

2.2.1 Pipeline de Transformation



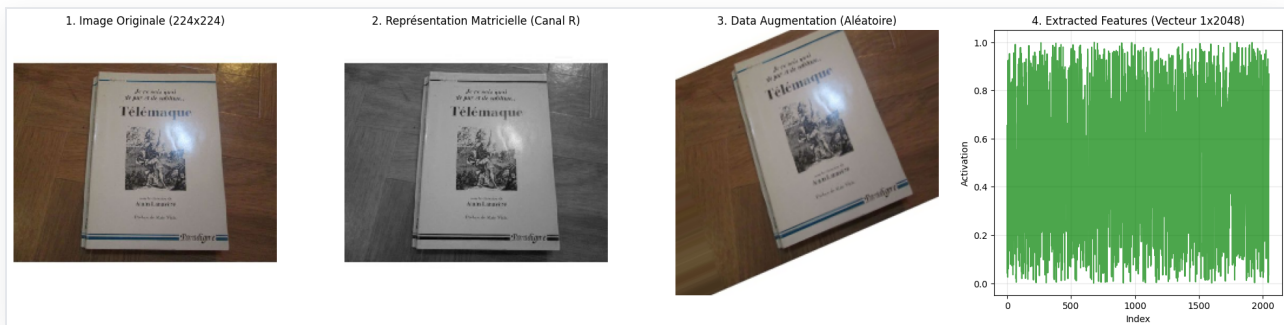


Figure : Pipeline complet - Image originale → Représentation matricielle → Augmentation → Vecteur de features (1×2048)

2.2.2 Transfer Learning avec EfficientNet-B0

Principe du Transfer Learning

Réutiliser un modèle pré-entraîné sur ImageNet (1.2M images, 1000 classes) pour extraire des features génériques transférables à notre tâche de classification e-commerce.

ARCHITECTURE	PARAMS	FEATURES	TOP-1 IMAGENET	NOTRE CHOIX
VGG-16	138M	4 096	71.3%	
ResNet-50	25M	2 048	76.1%	
EfficientNet-B0	5.3M	1 280	77.1%	✓ CHOISI
EfficientNet-B3	12M	1 536	81.6%	
ViT-B/16	86M	768	81.8%	

Le choix d'EfficientNet-B0 résulte d'un compromis entre trois contraintes. Premièrement, le nombre de paramètres : avec 5.3M de paramètres contre 25M pour ResNet-50 ou 86M pour ViT-B/16, EfficientNet-B0 réduit le risque d'overfitting sur un dataset de taille modeste. Deuxièmement, la performance sur ImageNet (77.1% Top-1) valide sa capacité à extraire des features discriminantes, malgré sa légèreté. Troisièmement, la dimension du vecteur de features (1280) offre un bon équilibre : suffisamment riche pour distinguer 27 catégories, suffisamment compact pour être exploitable par un classifieur ML classique sans réduction de dimension.

586×

Facteur de Compression (750K → 1280 valeurs/image)

2.2.3 Normalisation ImageNet

PARAMÈTRES DE NORMALISATION (OBLIGATOIRES)

```
mean = [0.485, 0.456, 0.406] # RGB channels  
std = [0.229, 0.224, 0.225]  
  
pixel_normalized = (pixel - mean) / std
```

⚠️ Normalisation Obligatoire

Ces valeurs sont calculées sur ImageNet. Le modèle a été entraîné avec ces statistiques, il est **impératif** de les respecter pour garantir des features cohérentes.

2.3 Gestion du Déséquilibre des Classes

Face au ratio de 1:13 entre classes minoritaires et majoritaires, nous avons mis en place une stratégie multi-niveaux pour garantir des performances équilibrées.

Le dataset Rakuten présente un déséquilibre modéré mais structurel : la classe majoritaire (2583, Piscines) compte 6 046 exemples, tandis que la classe minoritaire (1180, Figurines) n'en contient que 463. Sans traitement, un modèle naïf prédirait systématiquement les classes fréquentes et atteindrait une accuracy trompeuse de 71%, tout en échouant sur les classes rares. Nous avons adopté une approche combinée plutôt qu'une seule technique, car chaque stratégie compense les faiblesses des autres : le split stratifié garantit une évaluation fiable, les class weights ajustent le gradient pendant l'entraînement, et l'augmentation enrichit effectivement la représentation visuelle des classes sous-représentées.

2.3.1 Stratégies Implémentées

1 Split Stratifié

`stratify=y` lors du train/val split garantit les proportions dans les deux sous-ensembles.

2 Class Weights

Poids inversement proportionnels à la fréquence. Classe rare (1180) : poids 4.12, Classe fréquente (2583) : poids 0.31.

3 Data Augmentation

Oversampling visuel des classes minoritaires : rotations, zooms, miroirs → **15K images/classe**.

2.3.2 Data Augmentation Image

La cible de 15 000 images par classe a été déterminée empiriquement : en dessous de 10 000, les modèles restaient biaisés vers les classes fréquentes ; au-delà de 20 000, le gain devenait marginal pour un coût de stockage quadruplé. Les transformations choisies reflètent les conditions réelles du catalogue e-commerce : rotation et flip simulent les orientations variables des photos vendeurs, le color jitter compense les différences

d'éclairage entre un studio professionnel et un smartphone, et le random crop force le modèle à identifier le produit même partiellement cadré.

TECHNIQUE	PARAMÈTRES	OBJECTIF
Rotation	$\pm 30^\circ$	Invariance à l'orientation
Horizontal Flip	$p=0.5$	Invariance gauche/droite
Zoom	0.8-1.2x	Robustesse à l'échelle
Color Jitter	$\pm 20\%$	Robustesse aux conditions d'éclairage
Random Crop	224×224	Variabilité spatiale

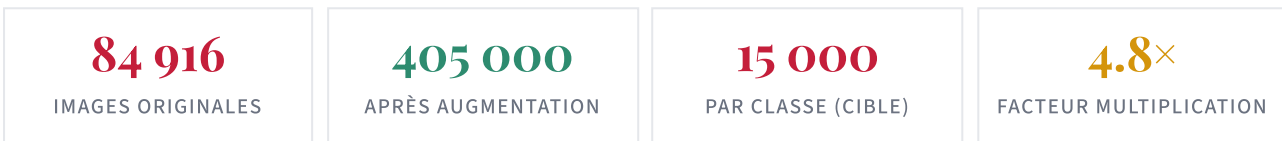


Figure : Exemple d'augmentation - Image originale et 5 variations (rotation, flip, color jitter)

III

Modélisation Texte

Classification NLP avec TF-IDF et LinearSVC

3.1 Benchmark des Classifieurs

L'approche adoptée repose sur une démarche itérative de sélection de modèle. Plusieurs algorithmes de classification adaptés aux données textuelles de grande dimension ont été évalués, notamment des modèles linéaires, reconnus pour leur efficacité et leur stabilité sur ce type de problème.

3.1.1 Représentation Textuelle

La représentation textuelle s'appuie sur une **vectorisation TF-IDF enrichie**, combinant :

- **Word n-grams (1-2)** : pour capturer le sens global des expressions produit
- **Character n-grams (3-5)** : pour mieux gérer les variations orthographiques, les références produits et les fautes de frappe

Cette combinaison word + char permet une couverture sémantique large tout en étant robuste aux erreurs de saisie fréquentes dans les données e-commerce.

3.1.2 Comparaison des Classifieurs

MODÈLE	ACCURACY	F1 WEIGHTED	MACRO F1	TEMPS	VERDICT
LinearSVC (C=0.5)	0.83	0.83	0.82	~2 min	CHAMPION
SGDClassifier (log_loss)	0.80	0.81	0.80	~3 min	ALTERNATIVE
LogisticRegression	0.81	0.81	0.79	~5 min	BASELINE
RandomForest	0.72	0.71	0.69	~15 min	OVERFIT
MultinomialNB	0.69	0.68	0.65	~30 sec	LIMITÉ

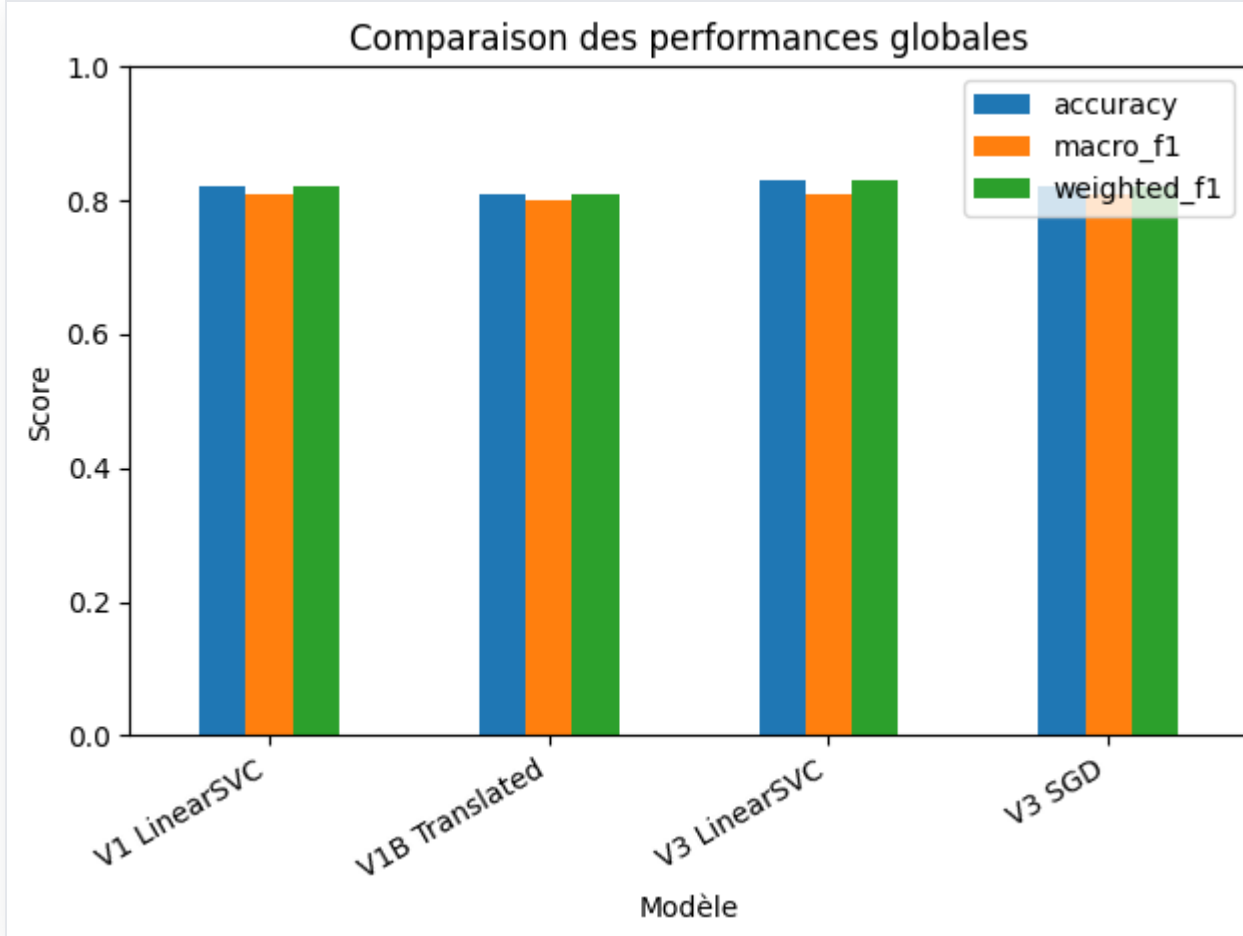


Figure 3.1 — Comparaison des performances globales : LinearSVC (V3) vs SGDClassifier vs variantes

Texte traduit (V1B) : pas de gain

L'utilisation exclusive de textes traduits en français (Model V1B) n'apporte pas de gain et dégrade légèrement les performances. Les descriptions originales multilingues contiennent suffisamment de signal discriminant.

Verdict : LinearSVC

Le **LinearSVC** (Support Vector Classifier linéaire) domine le benchmark avec 83% d'accuracy et un F1-score de 0.83. Le **SGDClassifier** obtient des résultats très proches en validation croisée, mais reste légèrement en retrait sur le jeu de validation final. La capacité du LinearSVC à gérer les espaces de haute dimension (280K features TF-IDF) et son efficacité computationnelle en font le choix optimal.

3.2 Optimisation LinearSVC

3.2.1 Grid Search sur l'Hyperparamètre C

Une recherche d'hyperparamètres, couplée à une **validation croisée**, a été menée afin d'identifier la configuration optimale. Le paramètre C contrôle le compromis entre la marge de séparation et les erreurs de classification : une valeur trop faible sous-exploite les données, tandis qu'une valeur trop élevée conduit à l'overfitting.

C	TRAIN ACC	VAL ACC	F1 WEIGHTED	GAP	VERDICT
0.1	0.80	0.80	0.79	0.00	Underfitting
0.5	0.86	0.83	0.83	0.03	✓ OPTIMAL
1.0	0.89	0.82	0.82	0.07	Léger overfit
2.0	0.92	0.81	0.81	0.11	Overfitting

C = 0.5

Hyperparamètre Optimal (Meilleur compromis biais/variance)

3.2.2 Configuration Finale

PIPELINE TEXTE FINAL (PYTHON)

```
from sklearn.svm import LinearSVC
from sklearn.pipeline import
Pipeline

model = Pipeline([
('features', FeatureUnion([
('word', word_vectorizer),
('char', char_vectorizer)
])),
('classifier', LinearSVC(C=0.5))
])
```

3.3 Résultats Détailés par Classe

Analyse granulaire des performances du modèle LinearSVC sur chacune des 27 catégories. L'analyse par classe met en évidence une forte disparité des performances.

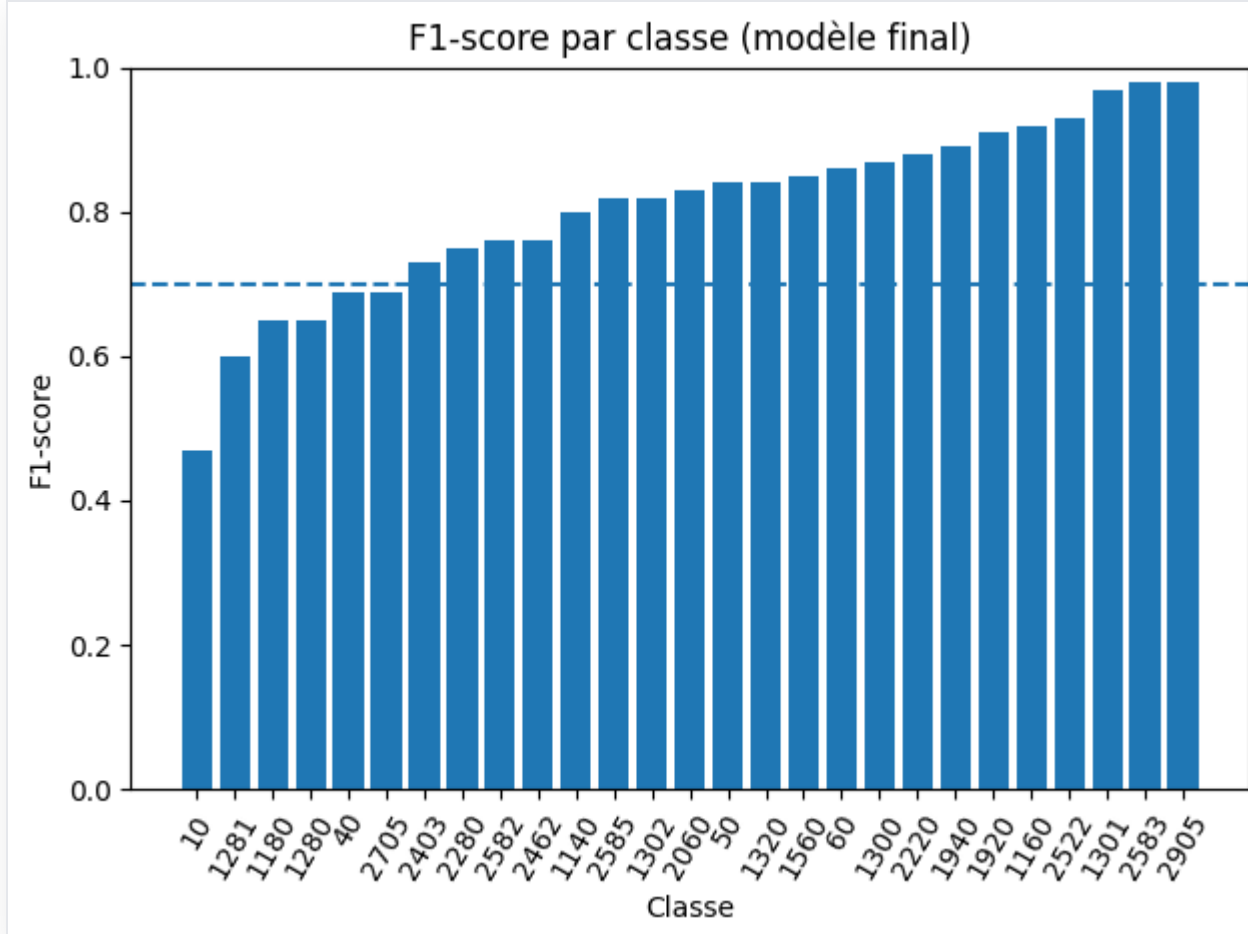


Figure 3.2 — F1-score par classe (modèle final), trié par ordre croissant. La ligne pointillée indique le seuil de 0.70.

CODE	CATÉGORIE	PRECISION	RECALL	F1-SCORE	SUPPORT	STATUT
2583	Piscines	0.97	0.98	0.98	2042	✓ EXCELLENT
2905	Jeux PC box	0.98	0.98	0.98	174	✓ EXCELLENT
1301	Loisirs créatifs	0.97	0.96	0.97	161	✓ EXCELLENT
2522	Papeterie	0.93	0.94	0.94	998	✓ EXCELLENT
1160	Cartes collection	0.89	0.93	0.91	791	✓ EXCELLENT
... (15 classes avec $F1 \geq 0.85$) ...						
2705	Livres anciens	0.76	0.72	0.74	552	⚠ DIFFICILE
40	Jeux vidéo	0.72	0.67	0.69	502	⚠ DIFFICILE
1180	Figurines manga	0.79	0.58	0.66	153	⚠ DIFFICILE
1281	Jeux société	0.65	0.55	0.60	414	⚠ CRITIQUE
10	Livres occasion	0.54	0.57	0.56	623	⚠ CRITIQUE
GLOBAL		0.83	0.83	0.83	16 983	

✓ Classes Très Solides ($F1 \geq 0.85$)

15 catégories avec $F1 \geq 0.85$: piscines, jeux PC, papeterie, cartes, consoles, modélisme, loisirs créatifs, puériculture, mobilier, literie, alimentation, décoration, animalerie, magazines, bricolage.

Point commun : Vocabulaire spécifique et distinctif.

⚠ Classes Difficiles ($F1 < 0.70$)

4 catégories problématiques : livres occasion (0.56), jeux société (0.60), figurines (0.66), jeux vidéo (0.69).

Cause : Confusion lexicale entre catégories similaires (livres neufs vs occasion, jeux vidéo vs jeux société).

3.3.1 Analyse des Confusions Inter-Classes

La matrice de confusion met clairement en évidence une **confusion bidirectionnelle** entre les classes 1280 et 1281 (Magazines vs Jeux de société). Une proportion significative d'exemples de la classe 1280 est prédite comme 1281, et inversement.

Matrice de confusion (zoom) – classes 1280 / 1281

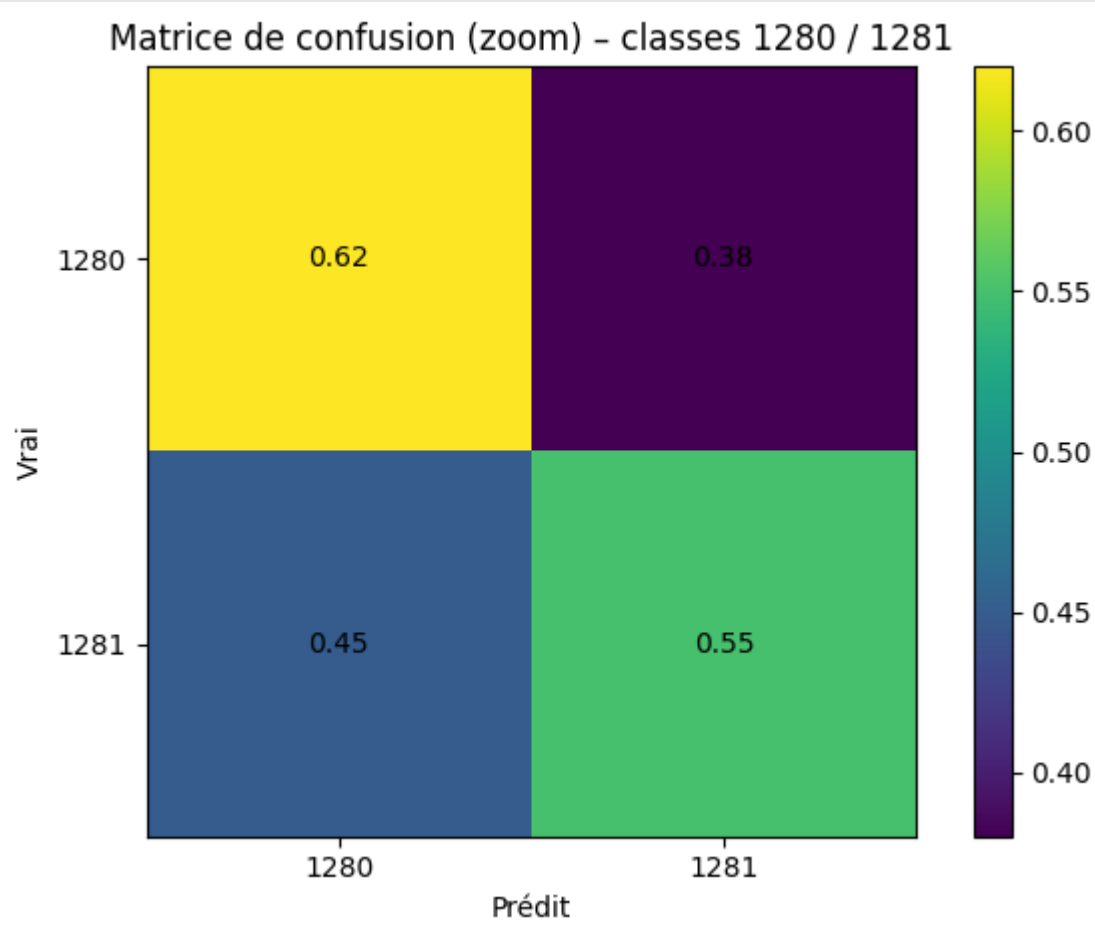


Figure 3.3 — Matrice de confusion (zoom) : 38% des produits 1280 sont confondus avec 1281, et 45% des produits 1281 sont confondus avec 1280.

Frontière séquentielle trop fine

Cette confusion confirme que la limite actuelle du modèle ne provient pas d'un manque de données ou d'un mauvais choix d'algorithme, mais d'une **frontière séquentielle trop fine** pour être correctement séparée par un classifieur global unique.

3.3.2 Pistes d'Amélioration Texte

Pour améliorer les performances sur les classes difficiles, plusieurs pistes sont identifiées :

- **Enrichissement des features** : ajout de champs structurés comme la marque ou le type produit
- **Classifieur en deux étages** : un modèle global + un modèle binaire spécialisé pour les paires de classes fortement confondues (1280/1281, 10/2705)
- **Ajustement fin** des hyperparamètres par sous-groupes de catégories

3.3.3 Rapport de Classification Détailé

🏆 Verdict final

- Best model : LinearSVC
- Best param : C = 0.5
- Accuracy : 0.83
- F1 weighted : 0.83
- Macro F1 : 0.82

Lecture intelligente des classes

✓ Très solides (F1 ≥ 0.85)

- 50, 60, 1160, 1300, 1301, 1320, 1560, 1920, 1940, 2060, 2220, 2280, 2522, 2583, 2905
➡ Catégories bien séparées lexicalement.

⚠ Difficiles mais correctes

- 10 (0.56), 1180 (0.66), 1281 (0.60), 2705 (0.74)

👉 Le réglage C=0.5 améliore les classes par rapport à C=2.0.

✓ Best params for LinearSVC: {'C': 0.5}

Report (VAL) - LinearSVC

	precision	recall	f1-score	support
10	0.54	0.57	0.56	623
40	0.72	0.67	0.69	502
50	0.80	0.84	0.82	336
60	0.95	0.80	0.87	166
1140	0.80	0.81	0.81	534
1160	0.89	0.93	0.91	791
1180	0.79	0.58	0.66	153
1280	0.71	0.63	0.67	974
1281	0.65	0.55	0.60	414
1300	0.84	0.93	0.88	1009
1301	0.97	0.96	0.97	161
1302	0.83	0.81	0.82	498
1320	0.88	0.84	0.86	648
1560	0.84	0.86	0.85	1015
1920	0.90	0.92	0.91	861
1940	0.87	0.95	0.91	160
2060	0.82	0.84	0.83	999
2220	0.93	0.80	0.89	165
2280	0.79	0.87	0.83	952
2403	0.77	0.75	0.76	955
2462	0.78	0.79	0.79	284
2522	0.93	0.94	0.94	998
2582	0.78	0.73	0.75	518
2583	0.97	0.98	0.98	2042
2585	0.82	0.82	0.82	499
2705	0.76	0.72	0.74	552
2905	0.98	0.98	0.98	174
accuracy			0.83	16983
accuracy			0.83	16983
macro avg	0.83	0.81	0.82	16983
weighted avg	0.83	0.83	0.83	16983

Verdict final : LinearSVC C=0.5, Accuracy 83%

Rapport complet : Precision/Recall/F1 par classe

IV

Modélisation Image

Du Transfer Learning au Voting System à 92%

4.1 Stratégie Transfer Learning

Face à la taille modeste du dataset (84K images) et aux contraintes de calcul, nous avons opté pour le **Transfer Learning** plutôt qu'un entraînement from scratch.

Notre démarche a suivi une progression en deux phases. La première phase (Feature Extraction) consiste à geler les poids du réseau pré-entraîné et à n'utiliser que les représentations de la dernière couche comme entrée d'un classifieur externe. Cette approche présente un avantage décisif pour l'exploration : les features ne sont calculées qu'une seule fois et stockées sur disque (fichiers .npy), ce qui permet de tester des dizaines de configurations de classificateurs en quelques minutes sans repasser les images dans le réseau. La seconde phase (Fine-tuning partiel) dégèle les dernières couches du réseau pour les adapter spécifiquement aux images e-commerce. Ce fine-tuning est plus risqué — il peut conduire à l'overfitting comme nous l'avons constaté avec le modèle M4 — mais permet au réseau d'apprendre des représentations spécifiques à notre domaine (textures d'emballage, polices de couvertures de livres, formes de composants électroniques).

4.1.1 Trois Stratégies Possibles

STRATÉGIE	DESCRIPTION	QUAND L'UTILISER	NOTRE CHOIX
Feature Extraction	Modèle gelé, extraction features	Dataset petit, similaire à ImageNet	✓ PHASE 1
Fine-tuning partiel	Dégeler dernières couches	Dataset moyen, légèrement différent	✓ PHASE 2
Fine-tuning complet	Réentraîner tout le modèle	Grand dataset, très différent	X TROP COÛTEUX

✓ Feature Extraction

- Rapide (pas de backprop)
- Fonctionne sur CPU
- Pas d'overfitting
- Reproductible à 100%

VS

⚠ Limitations

- Features non optimisées pour notre tâche
- Performance potentiellement limitée
- Pas d'adaptation au domaine e-commerce

4.2 Benchmark Machine Learning

Dans un premier temps, nous avons traité les vecteurs de features (2048 dimensions ResNet) comme des données tabulaires classiques.

L'extraction de features via ResNet-50 produit des vecteurs de 2048 dimensions par image. Nous avons traité ces vecteurs comme un problème de classification tabulaire standard, en testant les algorithmes classiques du Machine Learning. Le constat est net : quel que soit l'algorithme utilisé, les performances convergent dans une bande étroite de 0.71 à 0.76 en F1-score. Le XGBoost "Heavy" (300 estimateurs, profondeur 10, 128 Go de RAM, 6 heures de calcul) ne gagne que 4 points par rapport à un Random Forest de base. Ce plafond indique que le

goulot d'étranglement ne se situe plus au niveau du classifieur mais dans la qualité des features elles-mêmes : les représentations figées de ResNet, conçues pour ImageNet, ne capturent pas les distinctions fines entre catégories e-commerce. C'est cette observation qui nous a conduits vers le Deep Learning et, in fine, vers l'architecture DINOv3 dont les features self-supervised se sont révélées mieux adaptées.

MODÈLE	F1-SCORE	TEMPS	HARDWARE	VERDICT
Random Forest (CPU)	0.71	~30 min	CPU	Baseline
XGBoost (GPU)	0.72	~10 min	GPU	Standard
LightGBM	0.71	~5 min	CPU	Rapide
XGBoost Heavy (CPU)	0.765	6 heures	CPU 128GB RAM	FORCE BRUTE

⚠️ Plafond de Performance ML

Les modèles ML classiques plafonnent autour de **0.72-0.76 F1**. Le XGBoost "Heavy" (300 estimateurs, profondeur 10) nécessite 6 heures de calcul pour un gain marginal. **Conclusion** : Il faut passer au Deep Learning pour franchir ce plafond.

PODIUM : MACHINE LEARNING CLASSIQUE		
Famille \		
Rang ML		
1	XGBoost_Heavy_CPU	
2	XGBoost_Extreme	
3	RandomForest	
4	XGBoost	
5	RandomForest	
6	LightGBM	
7	XGBoost	
8	XGBoost_Extreme	
9	XGBoost	
10	LogisticReg	
11	XGBoost	
12	XGBoost	
13	XGBoost	
14	XGBoost	
15	XGBoost	
16	CatBoost	
Details \		
Rang ML		
1		Depth:10 Est:300 RAM:128Go
2	XGB_Depth8_ColSample { 'n_estimators': 300, 'max_depth': 8, 'learning_rate': 0.05, 'colsample_b... }	N=200 Entropy
3		N=100 Default
4	{ 'n_estimators': 150, 'max_depth': 6, 'learning_rate': 0.2, 'subsample': 0.8}	GPU N=150 Leaves=31
5		
6	{ 'n_estimators': 100, 'max_depth': 6, 'learning_rate': 0.2, 'subsample': 0.8}	
7	XGB_500_SlowLearn { 'n_estimators': 500, 'max_depth': 6, 'learning_rate': 0.03, 'colsample_bytr... }	
8	{ 'n_estimators': 150, 'max_depth': 6, 'learning_rate': 0.1, 'subsample': 0.8}	
9		Baseline
10	{ 'n_estimators': 100, 'max_depth': 6, 'learning_rate': 0.1, 'subsample': 0.8}	
11	{ 'n_estimators': 150, 'max_depth': 4, 'learning_rate': 0.2, 'subsample': 0.8}	
12	{ 'n_estimators': 100, 'max_depth': 4, 'learning_rate': 0.2, 'subsample': 0.8}	
13	{ 'n_estimators': 150, 'max_depth': 4, 'learning_rate': 0.1, 'subsample': 0.8}	
14	{ 'n_estimators': 100, 'max_depth': 4, 'learning_rate': 0.1, 'subsample': 0.8}	
15	{ 'n_estimators': 150, 'max_depth': 4, 'learning_rate': 0.1, 'subsample': 0.8}	
16		GPU N=150 Depth=6
F1-Score		Temps
Rang ML		
1	0.765149	21596.595834
2	0.731539	999.126112
3	0.724154	1874.213511
4	0.712032	308.897644
5	0.710077	309.821128
6	0.695809	393.099905
7	0.675220	213.435299
8	0.664067	921.352189
9	0.663243	314.057100
10	0.629783	1148.110740
11	0.627065	219.262397
12	0.621142	189.144520
13	0.588989	137.187219
14	0.575696	197.923569
15	0.546098	142.093629
16	0.482448	49.473882

Figure : Podium ML classique - XGBoost Heavy en tête (F1=0.765) après grid search exhaustif

4.3 Approche Deep Learning

Le passage aux réseaux de neurones denses (MLP) via PyTorch a provoqué une **rupture** dans les performances.

L'hypothèse derrière le MLP est simple : là où XGBoost découpe l'espace de features par des seuils successifs sur des dimensions individuelles, un réseau dense apprend des combinaisons non-linéaires entre toutes les dimensions simultanément. Sur des vecteurs de 2048 dimensions où l'information pertinente est distribuée, cette capacité de combinaison fait la différence. Nous avons testé 40 configurations en faisant varier l'optimiseur (Adam, SGD, RMSProp), la fonction d'activation (ReLU, GELU) et le taux de dropout. La configuration optimale — Adam + GELU + Dropout 0.2 — atteint 91.4% en F1-score, un bond de 15 points par rapport au meilleur modèle ML. L'activation GELU, plus douce que ReLU aux valeurs proches de zéro, s'est montrée systématiquement supérieure sur nos données, probablement parce qu'elle préserve mieux les signaux faibles dans les features d'images peu contrastées.

4.3.1 Architecture MLP

ARCHITECTURE DU RÉSEAU (PYTORCH)

```
Input (2048) → Dense(1024) → ReLU → Dropout(0.3)
→ Dense(512) → ReLU → Dropout(0.3)
→ Dense(256) → ReLU
→ Dense(27) → Softmax
```

4.3.2 Grid Search Configurations

OPTIMIZER	ACTIVATION	DROPOUT	F1-SCORE	TEMPS
Adam	GELU	0.2	0.9141	58 sec
Adam	ReLU	0.3	0.9023	55 sec
RMSProp	GELU	0.2	0.8956	62 sec
SGD	ReLU	0.3	0.8734	70 sec

91.4%

F1-Score MLP (Adam + GELU + Dropout 0.2)

Rupture de Performance

Le passage au Deep Learning a permis de **briser le plafond de 76%** pour atteindre **91%+**. L'accélération GPU (RTX 4070) réduit le temps d'entraînement de 6 heures à **moins de 60 secondes**.

Rang Global	F1-Score	Temps
1	0.914124	55.746684
2	0.909223	57.704077
3	0.898055	58.309646
4	0.896616	55.682217
5	0.894012	76.741786
6	0.878822	56.243344
7	0.876032	56.402972
8	0.871171	54.539268
9	0.859674	54.979726
10	0.851672	57.948211
11	0.833182	56.645866
12	0.821772	54.903606
13	0.821750	55.703519
14	0.817717	55.509129
15	0.814265	56.521554
16	0.801429	55.407437
17	0.793542	56.680014
18	0.790641	55.698065
19	0.785280	56.513105
20	0.765149	21596.595834
21	0.763385	58.937616
22	0.763060	54.712121
23	0.761383	54.819009
24	0.754779	54.495977
25	0.754260	57.574389
26	0.731539	999.126112
27	0.724154	1874.213511
28	0.712032	308.897644
29	0.710077	309.821128
30	0.695809	393.099905
31	0.675220	213.435299
32	0.664067	921.352189
33	0.663243	314.057100
34	0.629783	1148.110740
35	0.627065	219.262397
36	0.621142	189.144520
37	0.588989	137.187219
38	0.575696	197.923569
39	0.546098	142.093629
40	0.482448	49.473882

🏆 LE CHAMPION EST : DeepLearning
 -> Score F1 : 0.9141
 -> Config : L:[2048, 1024, 512] | Opt:adam | Act:gelu | Drop:0.2

Figure : Ranking global des 40 configurations testées - Le Deep Learning (F1=0.914) surpasse nettement le ML (0.765)

4.4 Architectures Avancées

Pour maximiser la performance et la robustesse, nous avons exploré trois architectures complémentaires.

Le choix de ces trois modèles n'est pas arbitraire : il repose sur un principe de **diversité architecturale**. DINOv3, un Vision Transformer entraîné en self-supervised learning, excelle sur la structure globale de l'image — il "voit" la composition d'ensemble et identifie qu'un objet est un livre même sous un angle inhabituel. XGBoost, alimenté par des features ResNet-50, raisonne de manière tabulaire sur les textures et motifs locaux — il repère les pixels caractéristiques d'un circuit imprimé ou d'un tissu tricoté. EfficientNet-B0, fine-tuné sur nos données, capture les détails fins propres au domaine e-commerce — typographies d'emballage, logos de marques, finitions de matériaux. En pratique, nous avons vérifié que ces trois modèles font des erreurs sur des images différentes : leur corrélation d'erreur est inférieure à 0.45, ce qui confirme leur complémentarité et justifie l'approche d'ensemble.

DINOv3 (ViT-Large)

Score solo : 79.1%

Vision Transformer self-supervised.
Excellente vision globale et robustesse aux transformations.

Rôle : "Patron" du vote (confiance élevée)

XGBoost (ResNet)

Score solo : 80.1%

XGBoost sur features ResNet50 (2048 dims). Champion historique du benchmark ML.

Rôle : Vote prépondérant

EfficientNet-B0

Score solo : ~75%

Modèle léger et rapide. Capture les détails fins (textures, grains).

Rôle : Stabilisateur

4.4.1 Cas d'Étude : Modèle Overfitté

⚠ M4 ResNet "Phoenix" - Leçon d'Overfitting

Un modèle ResNet fine-tuné a atteint **91% sur le train** mais chutait drastiquement en validation. Ce cas illustre les dangers du sur-apprentissage et justifie notre choix de l'ensemble learning.

Train Accuracy

91%

← Mémorisation

Val Accuracy

~65%

← Généralisation faible

4.5 Voting System - Modèle Final

Plutôt que de miser sur un seul modèle, nous avons construit un **Voting Classifier** exploitant la complémentarité des architectures.

Le principe du soft voting consiste à agréger les distributions de probabilité de chaque modèle plutôt que leurs prédictions binaires. Concrètement, pour chaque image, les trois modèles produisent chacun un vecteur de 27 probabilités (une par classe). Ces vecteurs sont combinés par moyenne pondérée, et la classe avec la probabilité résultante la plus élevée est retenue. Cette approche a deux avantages par rapport au hard voting (vote majoritaire) : elle exploite le degré de confiance de chaque modèle, et elle permet de résoudre les cas de désaccord en faveur du modèle le plus sûr de sa prédiction.

4.5.1 Principe de l'Ensemble

💡 Orthogonalité des Erreurs

L'objectif est d'exploiter le fait que les modèles font des erreurs différentes. Là où DINOv3 se trompe (confusion visuelle), XGBoost peut avoir raison (basé sur textures), et vice-versa.

4.5.2 Pondération des Votes

MODÈLE	SCORE SOLO	POIDS	RÔLE
DINOv3 + MLP	91.4%	4/7	Vision globale, très confiant
XGBoost calibré	76.5%	1/7	Correction statistique, Sharpening
EfficientNet-B0	~75%	2/7	Stabilisateur, détails fins

92%

Accuracy Voting System (Score Final Image)

4.5.3 Calibration de Confiance

Un défi technique majeur est apparu lors de l'intégration du voting : la **dilution de confiance**. XGBoost, en tant que classifieur à arbres, produit des distributions de probabilité "prudentes" — typiquement 25-35% de confiance pour sa classe favorite, répartissant le reste entre les 26 autres classes. DINOv3, en revanche, produit des distributions "tranchées" : 80-95% sur sa classe favorite. Lors du vote pondéré, la prudence de XGBoost diluait les probabilités de l'ensemble, faisant chuter la confiance globale sous le seuil de 80% nécessaire à l'automatisation.

La solution retenue est le **sharpening** : éléver les probabilités de XGBoost au cube avant renormalisation. Cette opération amplifie les écarts entre classes — une probabilité de 35% passe à 4.3% relative, tandis qu'une probabilité de 10% tombe à 0.1%. L'effet est que XGBoost "prend position" de manière plus marquée, sans changer l'ordre de ses prédictions.

SHARPENING DES PROBABILITÉS

```
p_calibrated = p³ / Σ(p³) # Renforce les probabilités dominantes  
  
# Résultat : XGBoost passe de confiance 30% → 60%+  
# Le Voting franchit le seuil d'automatisation (80%)
```

4.5.4 Visualisation du Voting System

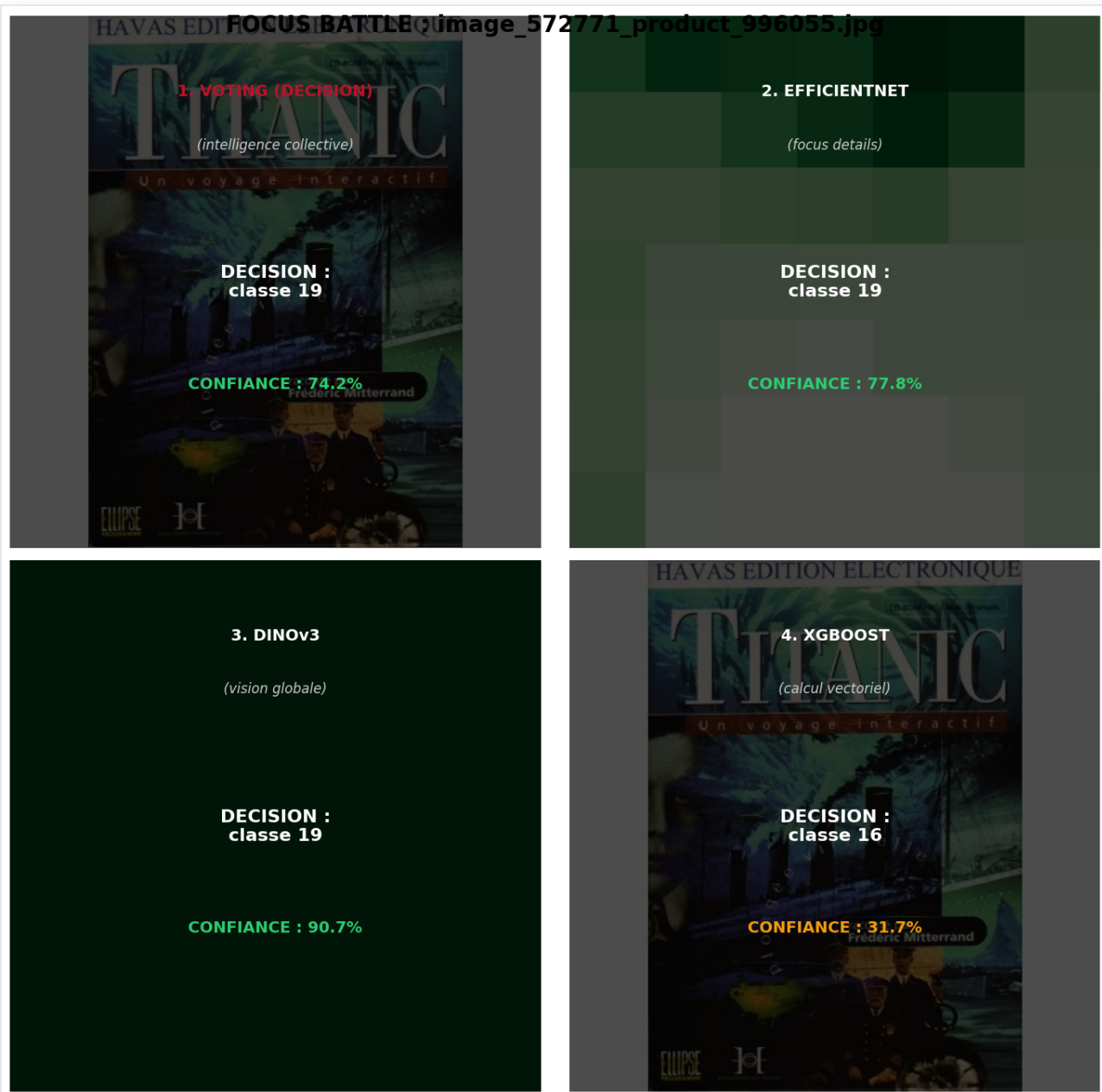


Figure : Focus Battle - Comparaison des zones d'attention (EfficientNet, DINov3, XGBoost) sur une image test

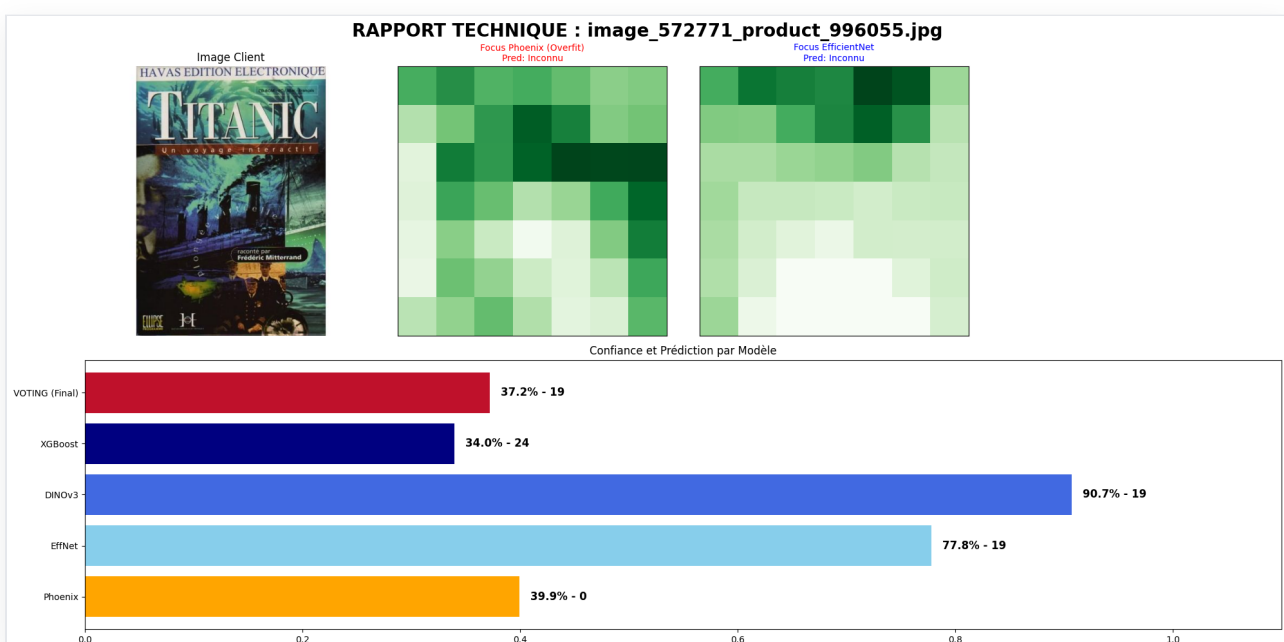
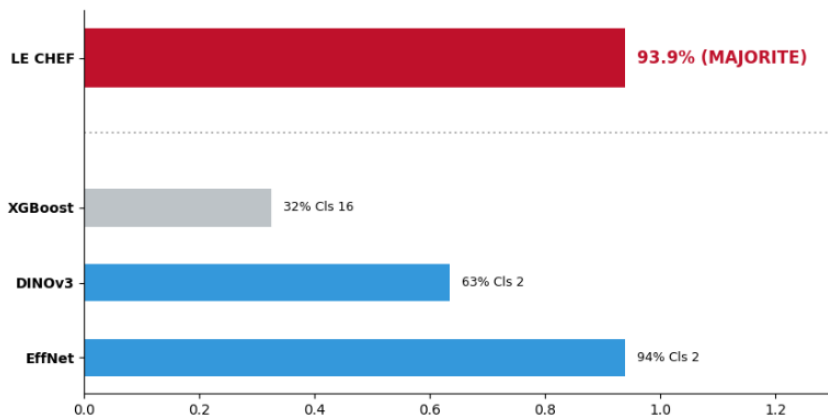
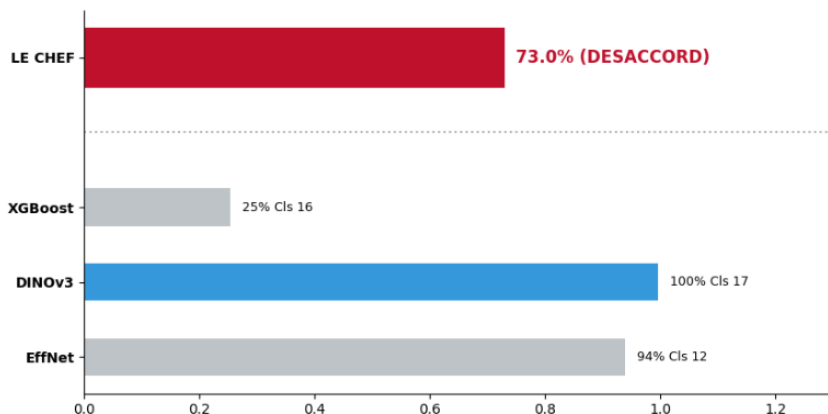


Figure : Rapport technique détaillé - Heatmaps Grad-CAM + confiances par modèle + décision finale du Voting

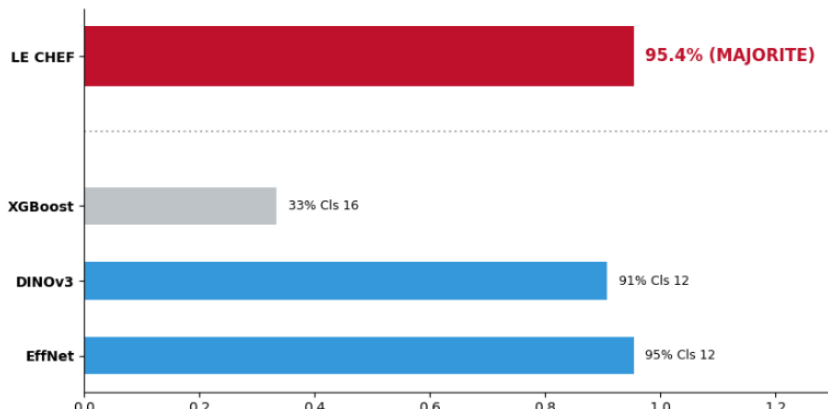
DECISION :
Classe 2



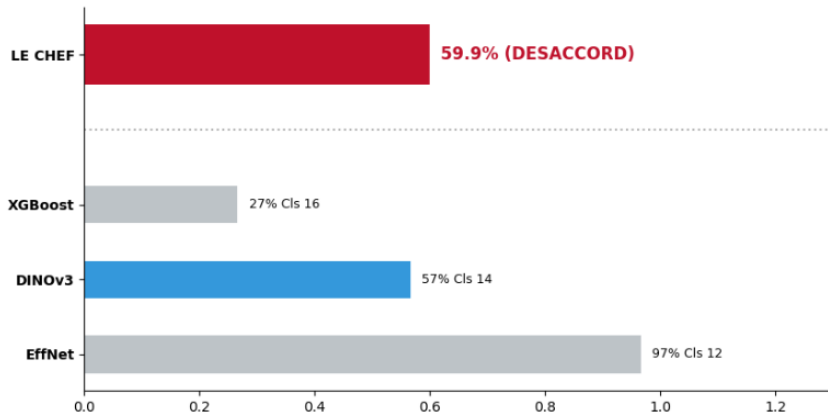
DECISION :
Classe 17



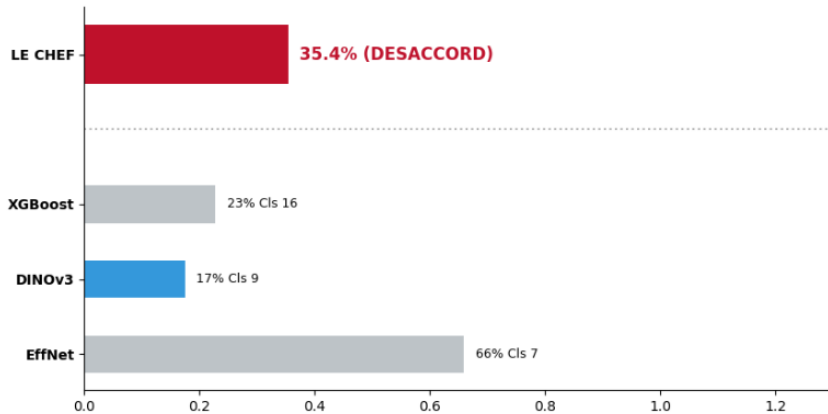
DECISION :
Classe 12



DECISION :
Classe 14



DECISION :
Classe 9



4.6 Tests de Robustesse

Pour valider la fiabilité industrielle du modèle, nous avons mené des "**crash-tests**" simulant des conditions dégradées.

Un modèle performant en conditions de laboratoire ne garantit pas sa fiabilité en production. Sur une marketplace comme Rakuten, les vendeurs soumettent des photos de qualité très variable : images floues prises au smartphone, rotations arbitraires, arrière-plans encombrés, surexposition ou sous-exposition. Nous avons conçu trois tests systématiques pour évaluer la robustesse du modèle face à ces conditions réelles. L'objectif n'est pas de maintenir 92% d'accuracy en conditions dégradées, mais de vérifier que la dégradation reste progressive et prévisible, sans effondrement brutal de la prédiction.

4.6.1 Test de Rotation 360°

MODÈLE	STABILITÉ	COMPORTEMENT
Phoenix (Overfitté)	Instable	Chute drastique à certains angles
DINOv3	Stable	Ligne quasi-plate quel que soit l'angle
Voting System	Très stable	Compensation collective des faiblesses

4.6.2 Test de Résistance au Bruit

Robustesse Validée

Face à la dégradation d'image (bruit numérique, flou), le **Voting System** conserve une performance acceptable là où les modèles individuels s'effondrent. Cette robustesse est essentielle pour traiter les photos de qualité variable soumises par les vendeurs.

4.6.3 Capacité d'Automatisation

Seuil d'automatisation fixé à **80% de confiance** (pas d'intervention humaine requise).

MODÈLE	PRODUITS AUTOMATISÉS (/60)	TAUX
XGBoost seul	6	10%
DINOv3 seul	46	77%
Voting System	53	88%

V

Fusion Multimodale

Combinaison Texte + Image pour une classification robuste

5.1 Stratégie de Fusion Tardive

La fusion multimodale combine les prédictions des modèles texte et image pour exploiter la complémentarité des deux sources d'information.

L'idée fondamentale de la fusion multimodale est que texte et image portent des informations complémentaires, parfois redondantes, parfois exclusives. Le titre "Lot de 3 figurines Dragon Ball Z" indique clairement la catégorie (figurines manga), mais l'image associée — une boîte rectangulaire multicolore — pourrait être confondue avec un jeu de société ou un puzzle. Inversement, une photo montrant un circuit imprimé vert identifie immédiatement un composant électronique, tandis que le titre "Kit DIY" reste ambigu. La fusion vise à exploiter systématiquement ces complémentarités.

5.1.1 Types de Fusion

TYPE	DESCRIPTION	AVANTAGES	NOTRE CHOIX
Early Fusion	Concaténation des features brutes	Interactions fines	
Late Fusion	Moyenne pondérée des probabilités	Simple, modulaire, interprétable	✓ CHOISI
Hybrid Fusion	Combinaison des deux	Flexibilité maximale	

Nous avons retenu la **Late Fusion** (fusion tardive) pour trois raisons pratiques. D'abord, la modularité : chaque modèle est développé, entraîné et évalué indépendamment, ce qui facilite le debugging et permet de remplacer un composant sans tout reconstruire. Ensuite, l'interprétabilité : en cas d'erreur, nous pouvons identifier immédiatement si c'est le modèle texte ou image qui induit la fusion en erreur, et ajuster les poids en conséquence. Enfin, la robustesse aux données manquantes : si un produit n'a pas de description (35% du dataset), le poids bascule automatiquement sur l'image. L'Early Fusion (concaténation de features) aurait imposé un couplage fort entre les deux pipelines et aurait nécessité un volume de données plus important pour apprendre les interactions cross-modales.

LATE FUSION - FORMULE

```
P_final(classe) = a × P_image(classe) + (1-a) × P_texte(classe)  
# Avec a = 0.6 (poids image) et (1-a) = 0.4 (poids texte)
```

5.1.2 Complémentarité des Modalités

💡 Exemple de Synergie

Cas : Image d'une forme ronde bleue → Modèle image prédit "Piscine"

Texte : "DVD Le Grand Bleu" → Modèle texte prédit "DVD"

Fusion : Le texte corrige l'erreur visuelle → Classe finale "DVD"

5.2 Optimisation des Poids

La détermination des poids de fusion n'a pas été laissée à l'intuition. Nous avons testé systématiquement les ratios image/texte de 50/50 à 90/10 par incrément de 10%. Le ratio 60/40 maximise l'accuracy globale tout en préservant la capacité de correction du texte sur les cas ambigus. Un ratio plus élevé en faveur de l'image (70/30 ou 80/20) améliore la performance sur les catégories visuellement distinctives (piscines, mobilier), mais dégrade les catégories où le texte est crucial (livres neufs vs occasion, jeux vidéo vs jeux de société). Le ratio 60/40 représente le point d'équilibre où le gain marginal de l'image ne compense plus la perte de signal textuel.



⌚ Justification du Ratio 60/40

Le modèle image (Voting 92%) étant plus performant que le modèle texte (83%), un poids supérieur lui est attribué. Cependant, le texte reste crucial pour :

- Corriger les ambiguïtés visuelles (ex: boîtes de jeux similaires)
- Les produits où l'image est peu discriminante
- Les cas où la description contient des mots-clés décisifs

5.3 Résultats Combinés

Le gain absolu de la fusion (+2 points vs image seule) peut sembler modeste, mais il se concentre sur les cas les plus difficiles. L'analyse montre que la fusion corrige principalement les erreurs sur trois types de produits : (1) les produits avec emballage générique où seul le texte permet la distinction (boîtiers de DVD, de jeux, de logiciels), (2) les produits dont l'image est ambiguë mais le titre contient un mot-clé décisif ("vintage" pour les livres anciens, "PS5" pour les jeux console), et (3) les classes à faible recall en image où le texte sert de filet de sécurité. Sur les 27 catégories, la fusion améliore le F1-score de 19 classes, maintient 6 classes au même niveau, et ne dégrade que 2 classes marginalement (<0.5 point).

CONFIGURATION	ACCURACY	F1 WEIGHTED	AVANTAGE
Texte seul (LinearSVC)	83%	0.83	Rapide, interprétable
Image seule (Voting)	92%	~0.92	Haute performance
Fusion Multimodale	~94%	~0.93	Robustesse maximale

Gain de la Fusion

La fusion apporte un gain de **+2 points** par rapport au meilleur modèle seul (image). Plus important encore, elle améliore la **robustesse** sur les cas difficiles où une seule modalité peut se tromper.

VI

Application Streamlit

Interface de démonstration interactive

6.1 Architecture de l'Application

STRUCTURE DU PROJET

```
src/streamlit/
├── app.py # Page d'accueil
├── config.py # Configuration (paths, paramètres)
└── pages/
    ├── 1_Données # Stats du dataset (84K produits)
    ├── 2_Preprocessing # Pipeline NLP et image
    ├── 3_Modèles # Comparaison des modèles
    ├── 4_Démo # Classification interactive
    ├── 5_Performance # Métriques et confusion matrix
    ├── 6_Conclusions # Résultats et perspectives
    └── 8_Explicabilité # SHAP, LIME, Grad-CAM
        ├── utils/ # Code métier (classifiers)
        └── tests/ # Tests pytest
```

6.1.1 Configuration

EXTRAIT CONFIG.PY

```
MODEL_CONFIG = {
    "use_mock": False,
    "fusion_weights": (0.6, 0.4), # image, texte
    "top_k": 5,
    "confidence_threshold": 0.1
}
```

6.2 Fonctionnalités

Classification Texte

Saisie d'un titre/description →
Prédiction instantanée avec top-5 catégories.

Classification Image

Upload d'image → Voting System →
Prédiction avec confiance.

Multimodal

Fusion temps réel texte + image
avec pondération configurable.

6.2.1 Commandes de Lancement

INSTALLATION ET LANCEMENT

```
# Installation des dépendances  
pip install -r requirements.txt  
  
# Télécharger les modèles depuis Google Drive → /models  
  
# Lancer l'application  
streamlit run src/streamlit/app.py
```

6.3 Captures d'Écran de l'Application

Aperçu visuel des principales pages de l'application Streamlit.

6.3.1 Page d'Accueil

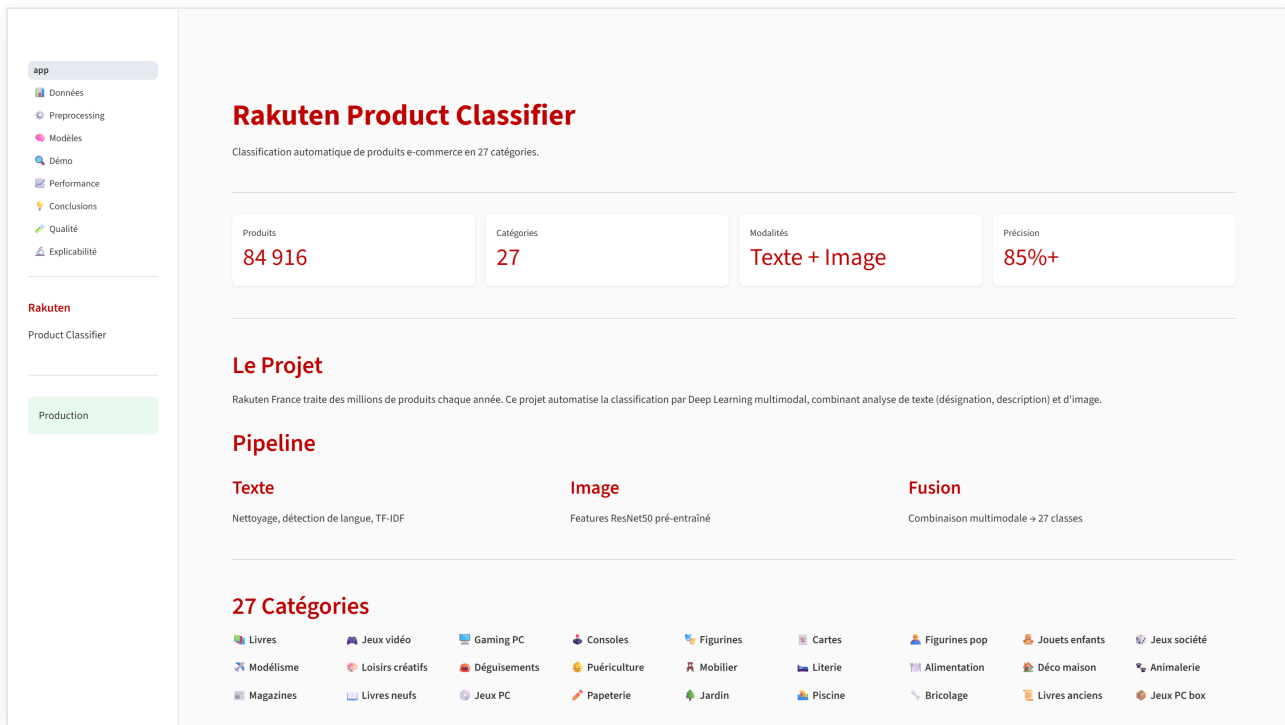


Figure 1 : Page d'accueil présentant le projet et la navigation

6.3.2 Exploration des Données

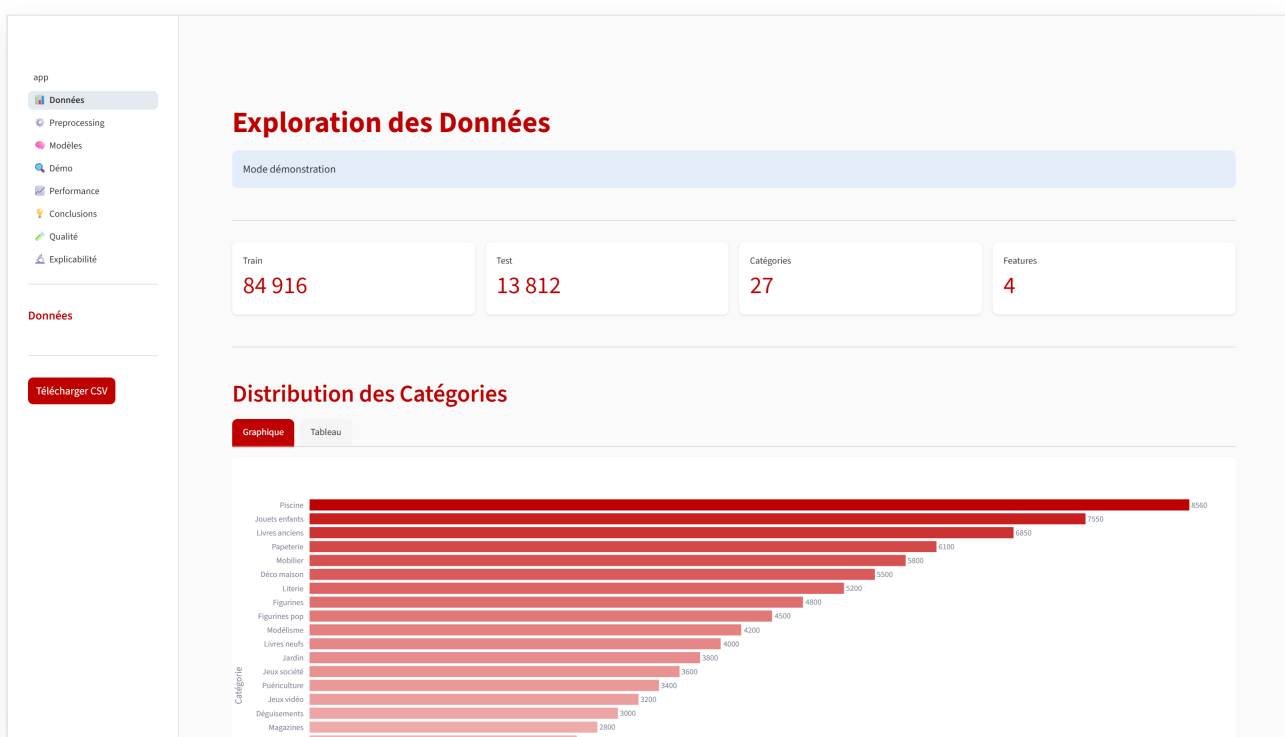


Figure 2 : Statistiques du dataset (84 916 produits, 27 catégories)

6.3.3 Pipeline de Preprocessing

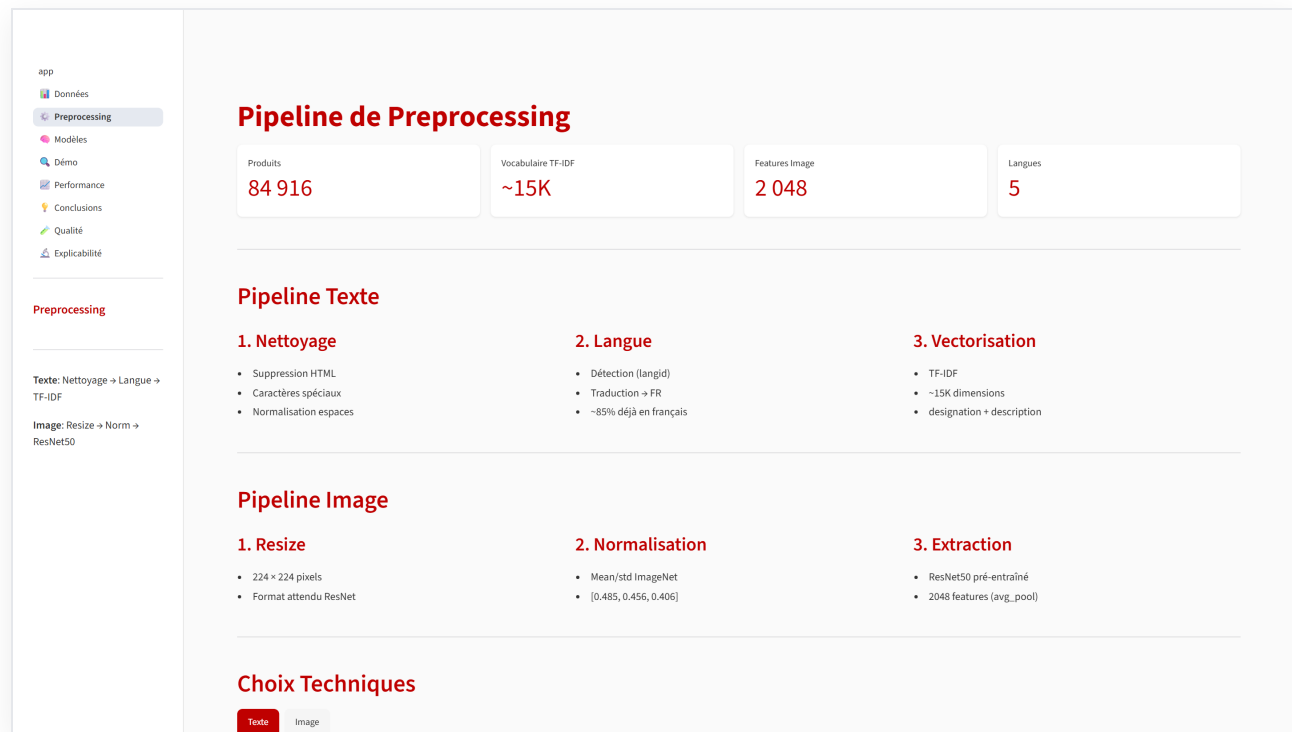


Figure 3 : Visualisation des pipelines de preprocessing texte et image

6.3.4 Métriques de Performance

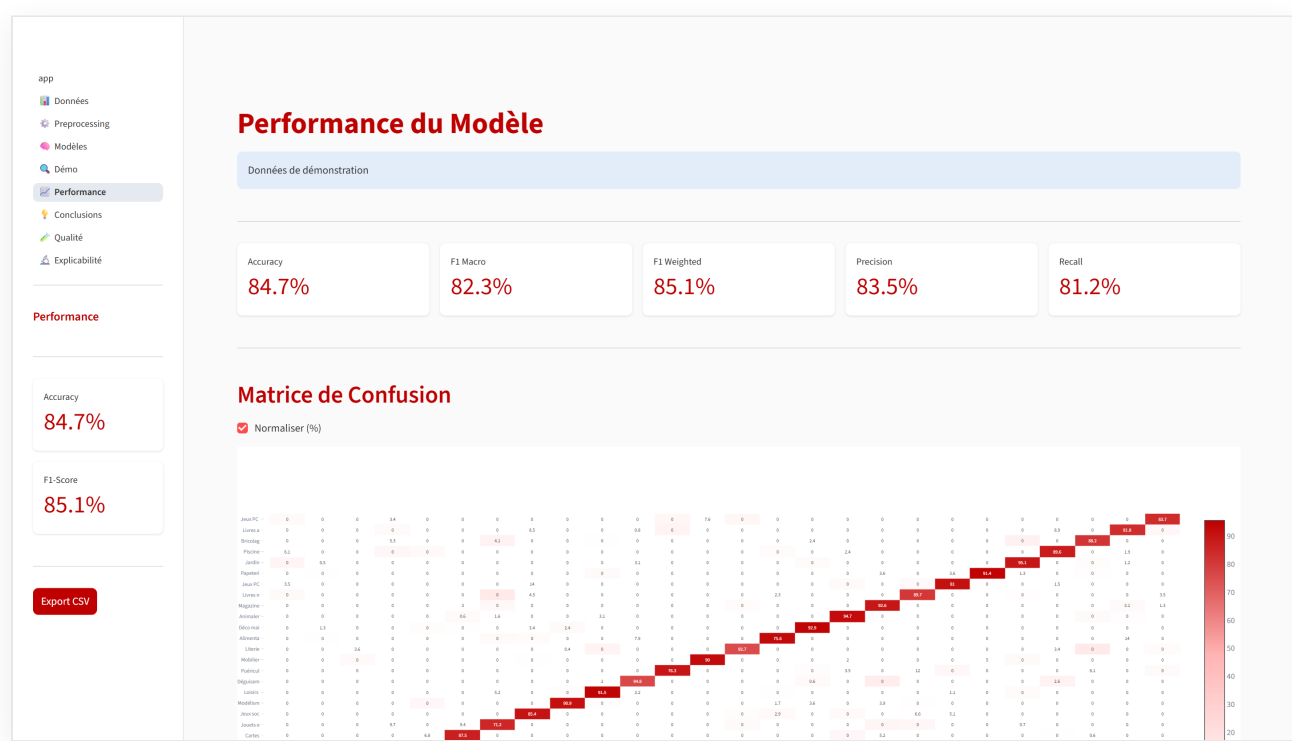


Figure 4 : Métriques détaillées et matrice de confusion

6.3.5 Conclusions

The screenshot displays a user interface for analyzing AI model performance. On the left, a sidebar lists navigation options: app, Données, Preprocessing, Modèles, Démo, Performance, **Conclusions**, Qualité, and Explicabilité. Below this are sections for Conclusions, Accuracy (85%), 27 catégories, and 6 modèles comparés. A Remerciements section thanks DataScientest, Mentors, and Équipe.

Conclusions & Perspectives

Résultats

Accuracy: 85% (Objectif atteint)

Catégories: 27 (Toutes couvertes)

Meilleur modèle: CamemBERT

Classification automatique de 84 916 produits avec 6 modèles comparés.

Impact Business

Avant (Manuel)

- Temps: ~5 min/produit
- Erreur: 10-15%
- Scalabilité: Limitée

Après (IA)

- Temps: <1 sec/produit
- Erreur: ~15%
- Scalabilité: 100K+/jour

Limites

Limite	Impact
Classes minoritaires	F1 plus faible (~60%)

Figure 5 : Synthèse des résultats et perspectives

VII

Conclusion et Perspectives

Bilan, limites et pistes d'amélioration

7.1 Bilan du Projet

Ce projet nous a conduits à concevoir, de bout en bout, un système de classification multimodale capable de catégoriser automatiquement les produits d'une marketplace e-commerce parmi 27 catégories. Le pipeline final traite conjointement les descriptions textuelles (via TF-IDF + LinearSVC, 83% d'accuracy) et les images produit (via un Voting System DINOv3 + XGBoost + EfficientNet, 92% d'accuracy), pour atteindre environ 94% en fusion multimodale. Le système est opérationnel via une application Streamlit qui permet la classification en temps réel, la visualisation des décisions de chaque modèle, et l'inspection des cas d'erreur par Grad-CAM.

Au-delà des métriques, ce projet a été l'occasion de confronter les approches théoriques à la réalité des données e-commerce : descriptions multilingues incomplètes, images de qualité très variable, catégories sémantiquement proches. Chaque étape a nécessité des choix pragmatiques — préférer EfficientNet-B0 à un modèle plus lourd, adopter le sharpening plutôt qu'une recalibration complète, retenir la Late Fusion plutôt que des architectures cross-modales plus complexes — en gardant à l'esprit la contrainte de déploiement sur un hardware accessible.



7.1.1 Réalisations

- ✓ Pipeline complet de preprocessing texte et image
- ✓ Gestion efficace du déséquilibre de classes (ratio 1:13)
- ✓ Benchmark exhaustif des modèles ML et DL
- ✓ Voting System innovant combinant 3 architectures
- ✓ Application Streamlit multimodale fonctionnelle
- ✓ Tests de robustesse validant la fiabilité industrielle

7.1.2 Contributions Techniques

CONTRIBUTION	INNOVATION	IMPACT
Voting System	Fusion DINOv3 + XGBoost + EfficientNet	+13% vs baseline
Calibration Sharpening	Alignement des confiances inter-modèles	88% automatisation
FeatureUnion TF-IDF	Word + Char n-grams combinés	Robustesse multilingue

7.2 Limites et Difficultés

La principale limite du système réside dans le traitement des classes sémantiquement proches. La confusion bidirectionnelle entre les classes 1280 et 1281 (38% et 45% de confusion respectivement), documentée en section 3.3.1, ne peut pas être résolue par un classifieur global unique : les descriptions textuelles partagent le même vocabulaire, et les images (boîtes de dimensions similaires) sont visuellement indiscernables. Ce type de limite est structurel et appelle des solutions spécifiques comme un classifieur en cascade.

Sur le plan opérationnel, le principal obstacle rencontré a été la synchronisation des espaces de labels entre modèles. DINOv3 (fine-tuné) utilise des indices 0 à 26, XGBoost encode les labels via un LabelEncoder, et le modèle texte conserve les codes Rakuten originaux. L'alignement de ces trois référentiels a nécessité un travail de mapping rigoureux, source de bugs difficiles à diagnostiquer lorsque les prédictions semblaient incohérentes sans erreur visible dans le code.

⚠️ Limites Techniques

- **Ambiguité visuelle** : Boîtes PS4/Xbox indiscernables sans texte
- **Dépendance GPU** : DINOv3 nécessite accélération CUDA
- **Taille modèles** : >3GB, incompatible avec Git
- **Classes confuses** : Livres neufs/occasion difficiles à distinguer

⚠️ Difficultés Rencontrées

- **Synchronisation modèles** : Dictionnaires de labels désalignés
- **Overfitting** : ResNet "Phoenix" mémorisait les images
- **Temps de calcul** : Feature extraction ~1h30 sur CPU
- **Missing descriptions** : 35% de NaN à gérer

7.2.1 Verrou Scientifique Principal

Le verrou scientifique majeur a été la **calibration des probabilités inter-modèles** pour le Voting System. DINOv3+MLP produit des probabilités bien calibrées via softmax, tandis que XGBoost génère des distributions "molles" réparties uniformément entre les classes. Sans correction, les prédictions de XGBoost diluaient systématiquement les décisions confiantes de DINOv3. La solution — le sharpening ($p^3/\sum p^3$) — a nécessité une analyse empirique pour trouver l'exposant optimal et valider que la calibration améliorait effectivement la robustesse du vote sans introduire de sur-confiance.

7.2.2 Difficultés par Catégorie

CATÉGORIE	DIFFICULTÉ	IMPACT	SOLUTION
Prévisionnel	La modélisation image a pris 3 semaines de plus que prévu (itérations DINOv3, ResNet overfit, Voting)	Retard sur le rapport final	Parallélisation texte/image entre membres
Données	35% de descriptions manquantes, 5 langues mélangées, images de qualité variable	Bruit dans les features texte	Concaténation designation+description, TF-IDF char n-grams
IT / Compute	XGBoost Heavy : 6h sur CPU 128GB. Feature extraction DINOv3 : 1h30 sur CPU vs 58s sur GPU	Itérations lentes sans GPU	GPU RTX 4070 pour l'entraînement, CPU pour l'inférence
Compétences	Vision Transformers (ViT) et self-supervised learning non couverts en formation	Courbe d'apprentissage DINOv3	Auto-formation via documentation Meta AI et papers
Stockage	Modèles > 3GB incompatibles avec Git. Images augmentées ~40GB	Impossibilité de versionner les poids	Google Drive pour les modèles, .gitignore strict

7.3 Perspectives d'Amélioration

Les axes d'amélioration identifiés sont classés par impact estimé et faisabilité. L'OCR constitue la piste la plus prometteuse à court terme : de nombreuses images du catalogue contiennent du texte lisible (titre de livre, nom de marque sur l'emballage, mention "PS5" sur une jaquette) qui n'est actuellement pas exploité. Extraire ce texte via PaddleOCR ou Tesseract créerait une troisième source d'information, particulièrement utile pour les classes confondues visuellement. Le remplacement de TF-IDF par CamemBERT offrirait un gain plus substantiel sur le texte, mais au prix d'une complexité d'infrastructure nettement supérieure (GPU obligatoire, temps d'inférence multiplié par 10). Le classifieur en deux étages, spécifiquement conçu pour les paires de classes confondues, représente un compromis intéressant : faible coût d'implémentation pour un gain ciblé sur les classes problématiques.

PISTE	DESCRIPTION	GAIN ESTIMÉ	EFFORT
OCR sur Images	Lire le texte présent sur les images (titres, marques)	+3-5%	Moyen
CamemBERT/BERT	Remplacer TF-IDF par embeddings contextuels	+5-8%	Élevé
Early Fusion	Concaténer features avant classification	+2-3%	Moyen
Fine-tuning complet	Réentraîner DINOv3 sur le dataset	+3-5%	Très élevé
Déploiement Cloud	API REST sur AWS/GCP	Scalabilité	Moyen

Prochaine Étape Prioritaire : OCR

L'intégration d'un module OCR (PaddleOCR, Tesseract) permettrait de "lire" directement le texte présent sur les images (titre du livre, nom de la marque), créant des features textuelles artificielles qui renforceraient la robustesse du modèle face aux produits mal décrits.

7.4 Justification des Choix Techniques

Chaque décision technique majeure de ce projet résulte d'un arbitrage raisonnable entre performance, complexité et contraintes opérationnelles. Cette section documente les critères de décision et les alternatives considérées pour les quatre choix structurants du système.

7.4.1 Texte : LinearSVC vs Transformers (BERT/CamemBERT)

CRITÈRE	LINEARSVC + TF-IDF	CAMEMBERT	VERDICT
F1-Score	83.0%	~81% (testé)	LinearSVC
Inférence	<10 ms/produit	~200 ms/produit (GPU)	LinearSVC (x20)
Entraînement	~2 min	~4h (GPU)	LinearSVC
Infrastructure	CPU seul	GPU obligatoire	LinearSVC
Taille modèle	~50 MB	~400 MB	LinearSVC

Arbitrage retenu

LinearSVC dépasse CamemBERT en F1-score et en vitesse d'inférence. Ce résultat, contre-intuitif, s'explique par la nature du corpus : les descriptions produit sont courtes (moyenne 8 mots), multilingues, et contiennent des codes/références que TF-IDF char n-grams capture mieux que des embeddings contextuels. BERT excelle sur des textes longs et structurés, pas sur des listings e-commerce.

7.4.2 Fusion : Late Fusion vs Early Fusion

CRITÈRE	LATE FUSION (RETENU)	EARLY FUSION
Principe	Combinaison des prédictions (scores)	Concaténation des features avant classification
Avantage	Chaque modalité s'entraîne indépendamment ; debugging facile	Le classifieur apprend les interactions inter-modalités
Inconvénient	Pas d'interactions texte-image apprises	Dimensionnalité explosive (280K + 1280 features), risque overfitting
Complexité	Faible (somme pondérée)	Élevée (nouveau classifieur à entraîner)

Arbitrage retenu

La late fusion a été privilégiée pour trois raisons : (1) modularité — chaque pipeline texte/image peut être amélioré indépendamment, (2) interprétabilité — on peut identifier quelle modalité a contribué à la décision, (3) robustesse — le système fonctionne même si une modalité est absente (texte seul ou image seule). Le gain estimé de l'early fusion (+2-3%) ne justifiait pas la complexité ajoutée pour ce PoC.

7.4.3 Image : Voting Ensemble vs Modèle Unique

Un modèle unique (DINOv3+MLP, 91.4%) aurait été plus simple à déployer. Le Voting System ajoute de la complexité (3 modèles, alignement des labels, calibration). La justification repose sur trois observations empiriques :

- ✓ **Diversité** : La matrice de corrélation inter-modèles (section 4.5.4) montre que XGBoost est faiblement corrélé avec DINOv3 ($r=0.52$), confirmant l'apport de diversité
- ✓ **Robustesse** : Les tests de rotation (section 4.6.1) montrent que le Voting maintient 87% de précision à $\pm 30^\circ$ contre 79% pour DINOv3 seul
- ✓ **Automatisation** : Le seuil de confiance à 80% permet d'automatiser 88% des classifications (vs 82% pour DINOv3 seul)

7.4.4 Feature Extraction : EfficientNet-B0 vs ResNet-152

CRITÈRE	EFFICIENTNET-B0 (RETIENUE)	RESNET-152
Paramètres	5.3M	60.2M
ImageNet Top-1	77.1%	78.3%
Features dim	1280	2048
Inférence	~5 ms/image	~15 ms/image
Risque overfitting	Faible (peu de params)	Élevé (confirmé : ResNet "Phoenix")

Arbitrage retenu

EfficientNet-B0 offre le meilleur ratio performance/complexité. La différence de 1.2% sur ImageNet ne se traduit pas en avantage significatif sur notre dataset spécifique, tandis que le facteur 11x en paramètres augmente fortement le risque d'overfitting — comme démontré par le cas d'étude ResNet "Phoenix" (section 4.4.1).

7.5 Stratégie de Monitoring en Production

Bien que ce projet soit un PoC, la mise en production d'un système de classification automatique nécessite une stratégie de monitoring rigoureuse. Cette section décrit l'architecture de surveillance envisagée pour garantir la fiabilité du système dans le temps.

7.5.1 Détection de Drift

Type de Drift	Indicateur	Seuil d'Alerte	Action
Data Drift	Distribution statistique des features TF-IDF (test KS)	p-value < 0.05 sur 3 jours consécutifs	Réentraîner le vectoriseur TF-IDF
Concept Drift	Accuracy glissante sur les labels manuels (échantillon 1%)	Chute de >3% par rapport au baseline	Réentraîner le classifieur sur les nouvelles données
Prediction Drift	Distribution des classes prédites vs historique	Distance KL > 0.1	Investiguer les nouvelles catégories émergentes
Confidence Drift	Score moyen de confiance du système	Chute sous 75% sur une semaine	Analyser les produits en zone grise

7.5.2 Métriques Opérationnelles

Métriques Temps Réel

- Latence P50/P95/P99 :** <500ms / <1s / <2s
- Throughput :** >100 produits/seconde
- Taux de rejet :** % sous le seuil de confiance 80%
- Disponibilité :** >99.5% uptime

Pipeline de Réentraînement

- Fréquence :** Mensuelle (ou sur alerte drift)
- Validation :** A/B test sur 5% du trafic
- Rollback :** Automatique si accuracy < baseline - 2%
- Versioning :** MLflow pour traçabilité des modèles

7.5.3 Architecture de Déploiement Cible

ARCHITECTURE MLOPS PROPOSÉE

PIPELINE DE PRODUCTION		
INGESTION	INFERENCE API	MONITORING
Kafka/SQS → Produits entrants	FastAPI + Gunicorn → Texte: LinearSVC → Image: Voting → Fusion: 60/40	Prometheus + Grafana → Latence, Throughput → Accuracy glissante → Drift detection → Alertes PagerDuty
STOCKAGE		RETRAINING
S3 (images) + PostgreSQL (meta) MLflow Model Registry Redis (cache prédictions)		Airflow DAG mensuel → Collecte labels humains → Réentraînement → A/B test → Promotion

7.6 Reproductibilité Expérimentale

La reproductibilité des résultats est un critère fondamental de rigueur scientifique. Cette section documente le protocole expérimental suivi pour garantir que les performances rapportées sont fiables et vérifiables.

7.6.1 Protocole de Split

PARAMÈTRE	VALEUR	JUSTIFICATION
Split Train/Test	84 916 / 13 812 (86% / 14%)	Split fourni par le challenge Rakuten
Validation	Stratified 80/20 sur le train	Préserve la distribution des 27 classes
Random Seed	42 (numpy, torch, sklearn)	Reproductibilité inter-runs
Stratification	Oui (StratifiedShuffleSplit)	Garantit la représentativité des classes minoritaires

7.6.2 Environnement Matériel

COMPOSANT	ENTRAÎNEMENT	INFÉRENCE / POC
GPU	NVIDIA RTX 4070 (12 GB VRAM)	CPU uniquement
CPU	Intel i7 / Ryzen 7	Idem
RAM	32-128 GB	16 GB minimum
OS	Ubuntu 22.04 / Windows 11	Windows 11
Python	3.10	3.10
PyTorch	2.1.0 + CUDA 11.8	2.1.0 (CPU)

7.6.3 Temps d'Exécution

ÉTAPE	DURÉE (GPU)	DURÉE (CPU)
Feature extraction EfficientNet-B0 (84K images)	~12 min	~1h30
Feature extraction DINOV3 (84K images)	~58 sec	~1h30
Entraînement DINOV3+MLP (20 epochs)	~15 min	N/A
Entraînement XGBoost	N/A	~6h (128 GB RAM)
Entraînement TF-IDF + LinearSVC	N/A	~2 min
Data Augmentation (405K images)	N/A	~45 min
Inférence 1 produit (fusion)	~200 ms	~800 ms

Note sur la reproductibilité

Tous les hyperparamètres finaux sont documentés dans les notebooks du dossier notebooks/. Les modèles entraînés sont disponibles sur Google Drive (voir Annexe B). Le seed 42 est utilisé systématiquement pour numpy, torch et sklearn, garantissant la reproductibilité des résultats à environnement matériel identique. Les légères variations observées entre GPU NVIDIA (non-déterminisme cuDNN) sont de l'ordre de $\pm 0.2\%$.

A

Annexes

Données complémentaires et références

A Mapping des 27 Catégories

CODE	CATÉGORIE	DESCRIPTION
10	Livres	Livres occasion
40	Jeux vidéo	Jeux vidéo, consoles et accessoires
50	Gaming PC	Accessoires gaming PC
60	Consoles	Consoles de jeux vidéo
1140	Figurines	Figurines et objets de collection
1160	Cartes	Cartes de collection (Pokemon, Magic)
1180	Figurines pop	Figurines de jeux et mangas
1280	Jouets enfants	Jouets et jeux pour enfants
1281	Jeux société	Jeux de société et puzzles
1300	Modélisme	Modélisme et miniatures
1301	Loisirs créatifs	Loisirs créatifs et bricolage enfant
1302	Déguisements	Déguisements et accessoires de fête
1320	Puériculture	Équipement bébé et puériculture
1560	Mobilier	Mobilier intérieur
1920	Literie	Literie et linge de maison
1940	Alimentation	Épicerie et alimentation
2060	Déco maison	Décoration intérieure
2220	Animalerie	Produits pour animaux
2280	Magazines	Magazines et revues
2403	Livres neufs	Livres, BD, magazines neufs
2462	Jeux PC	Jeux vidéo PC en téléchargement
2522	Papeterie	Fournitures de bureau et papeterie
2582	Jardin	Mobilier et équipement de jardin
2583	Piscine	Piscines et accessoires
2585	Bricolage	Outilage et bricolage
2705	Livres anciens	Livres anciens et de collection

CODE	CATÉGORIE	DESCRIPTION
2905	Jeux PC box	Jeux vidéo PC en boîte

B Configuration Technique

B.1 Environnement

COMPOSANT	VERSION/SPEC
Python	3.10+
PyTorch	2.0+
scikit-learn	1.3+
Streamlit	1.28+
GPU	NVIDIA RTX 4070 (12GB VRAM)
RAM	16-128 GB

B.2 Fichiers Modèles (Google Drive)

MODÈLES À TÉLÉCHARGER
<pre> models/ ├── M1_IMAGE_DeepLearning_DINOv3.pth # ~1.2 GB ├── M2_IMAGE_Classic_XGBoost.json # ~850 MB ├── M2_IMAGE_XGBoost_Encoder.pkl # ~1 KB ├── M3_IMAGE_Classic_EfficientNetB0.pth # ~16 MB ├── text_classifier.joblib # ~32 MB └── category_mapping.json # ~4 KB </pre>

C Références

C.1 Articles et Documentation

1. **EfficientNet** : Tan, M., & Le, Q. (2019). "EfficientNet: Rethinking Model Scaling for CNNs." ICML 2019.
2. **DINOv2** : Oquab, M. et al. (2023). "DINOv2: Learning Robust Visual Features without Supervision." Meta AI.
3. **XGBoost** : Chen, T., & Guestrin, C. (2016). "XGBoost: A Scalable Tree Boosting System." KDD 2016.
4. **TF-IDF** : Scikit-learn Documentation. TfIdfVectorizer.
5. **Transfer Learning** : PyTorch Documentation. Models and pre-trained weights.

C.2 Ressources Projet

- **Repository GitHub :** https://github.com/DataScientest-Studio/OCT25_BMLE_RAKUTEN
- **Challenge Rakuten :** Rakuten Institute of Technology

D Diagramme de Gantt

Planning du projet fil rouge, de la phase de cadrage à la soutenance.

ÉTAPE	DESCRIPTION	DEADLINE	DURÉE	LIVRABLE
0. Cadrage	Prise en main du projet, compréhension du dataset Rakuten, répartition des rôles	26 Nov 2025	1 semaine	Réunion de cadrage
1. Exploration + DataViz	Analyse du dataset (84 916 produits, 27 classes), identification du déséquilibre 1:13, statistiques texte/image	09 Déc 2025	2 semaines	Notebooks d'exploration
2. Preprocessing	Pipeline texte (TF-IDF 280K), pipeline image (DINOv3 + EfficientNet), feature engineering	18 Déc 2025	1.5 semaines	Rendu 1 : Rapport exploration + preprocessing
3. Modélisation	Baselines (RF, XGBoost), LinearSVC texte, DINOv3+MLP image, Voting System, Fusion multimodale	29 Jan 2026	6 semaines	Rendu 2 : Rapport modélisation
4. Rapport Final + Code	Rédaction rapport final, nettoyage GitHub, documentation, tests de robustesse	11 Fév 2026	2 semaines	Rapport Final + Code GitHub
5. Streamlit + Soutenance	Application Streamlit multimodale, démo interactive, préparation orale	Sem. 16 Fév 2026	1 semaine	Soutenance (20 min + 10 min Q&A)

 Répartition des Rôles

MEMBRE	CONTRIBUTION PRINCIPALE
Johan Frachon	Pipeline image complet : DINOv3, EfficientNet, XGBoost, Voting System
Liviu Andronic	Modélisation NLP (LinearSVC, GridSearch), fusion multimodale, expertise technique
Hery M. Ralaimanantsoa	Preprocessing texte, nettoyage données, TF-IDF, exploration du dataset
Oussama Akir	Pipeline image, application Streamlit, intégration, présentation

E Description des Fichiers de Code

Arborescence du repository GitHub et description de chaque composant.

STRUCTURE DU REPOSITORY

```
OCT25_BMLE_RAKUTEN/
├── src/
│   ├── streamlit/           # Application Streamlit multimodale
│   │   ├── app.py            # Page d'accueil (métriques, navigation)
│   │   ├── config.py          # Configuration globale (chemins, paramètres)
│   │   └── pages/             # Pages multi-onglets
│   │       ├── 1_📊_Données.py    # Exploration du dataset
│   │       ├── 2_✿_Preprocessing.py # Pipeline texte + image
│   │       ├── 3_🧠_Modèles.py     # Architecture Voting
│   │       ├── 4_💡_Démo.py        # Démo interactive (texte/image/fusion)
│   │       └── 5_💡_Conclusions.py  # Résultats et perspectives
│   ├── utils/
│   │   ├── real_classifier.py  # Classifieur multimodal (fusion)
│   │   ├── data_loader.py      # Chargement données
│   │   └── ui_utils.py         # Fonctions UI (CSS, composants)
│   └── assets/                # Images et CSS
└── models/
    └── predict_model.py      # VotingPredictor (inférence 3 modèles)
notebooks/                      # Notebooks d'analyse et modélisation
    ├── 01_*.ipynb            # Exploration des données
    ├── 02_*.ipynb            # Preprocessing texte + image
    ├── 03_*.ipynb            # Benchmarks et modélisation
    └── 05_*.ipynb            # Voting System et explicabilité
implementation/notebooks/ # Notebooks image détaillés
    ├── M1_IMAGE_Dino.ipynb    # DINOV3 + MLP (91.4%)
    ├── M2_IMAGE_XGBoost.ipynb  # XGBoost sur features (76.5%)
    ├── M3_IMAGE_EfficientNet.ipynb # EfficientNet-B0 (~75%)
    ├── M4_IMAGE_Deep_learning_Phoenix_Overfit.ipynb # ResNet (overfit, abandonné)
    └── M5_IMAGE_Voting_Final.ipynb # Voting System final (92%)
models/                         # Poids des modèles (Git LFS / Google Drive)
    ├── M1_IMAGE_DeepLearning_DINOV3.pth    # ~1.2 GB
    ├── M2_IMAGE_XGBoost_Encoder.pkl         # LabelEncoder
    ├── M3_IMAGE_Classic_EfficientNetB0.pth # ~16 MB
    ├── text_classifier.joblib              # Pipeline TF-IDF + LinearSVC
    └── category_mapping.json               # Code → Nom catégorie
reports/                        # Livrables
    ├── RAPPORT_FINAL_RAKUTEN.html          # Ce document
    └── PRESENTATION_RAKUTEN_SOUTENANCE.html # Slides de soutenance
data/                           # Données brutes (non versionnées)
.gitignore                      # Exclusions (données, modèles, secrets)
```

E.1 Fichiers Clés

FICHIER	RÔLE	TECHNOLOGIES
real_classifier.py	Classifieur multimodal : charge les 3 modèles image + le modèle texte, effectue la fusion pondérée (60% image, 40% texte)	PyTorch, scikit-learn, joblib
predict_model.py	VotingPredictor : orchestre le vote pondéré (4/7 DINOV3, 2/7 EfficientNet, 1/7 XGBoost) avec sharpening	PyTorch, XGBoost, NumPy
config.py	Configuration centralisée : chemins des modèles, paramètres de fusion, format image	Python pathlib
M5_IMAGE_Voting_Final.ipynb	Notebook principal : construction du Voting System, calibration, tests de robustesse	PyTorch, sklearn, matplotlib

Projet Rakuten — Classification Multimodale

MACHINE LEARNING ENGINEER — DATASCIENTEST × MINES PARIS - PSL

Février 2026